

Topologia obliczeniowa

3 Minikonferencja Środowiskowych Studiów Doktoranckich
z Nauk Matematycznych

Kraków, 14. października 2011

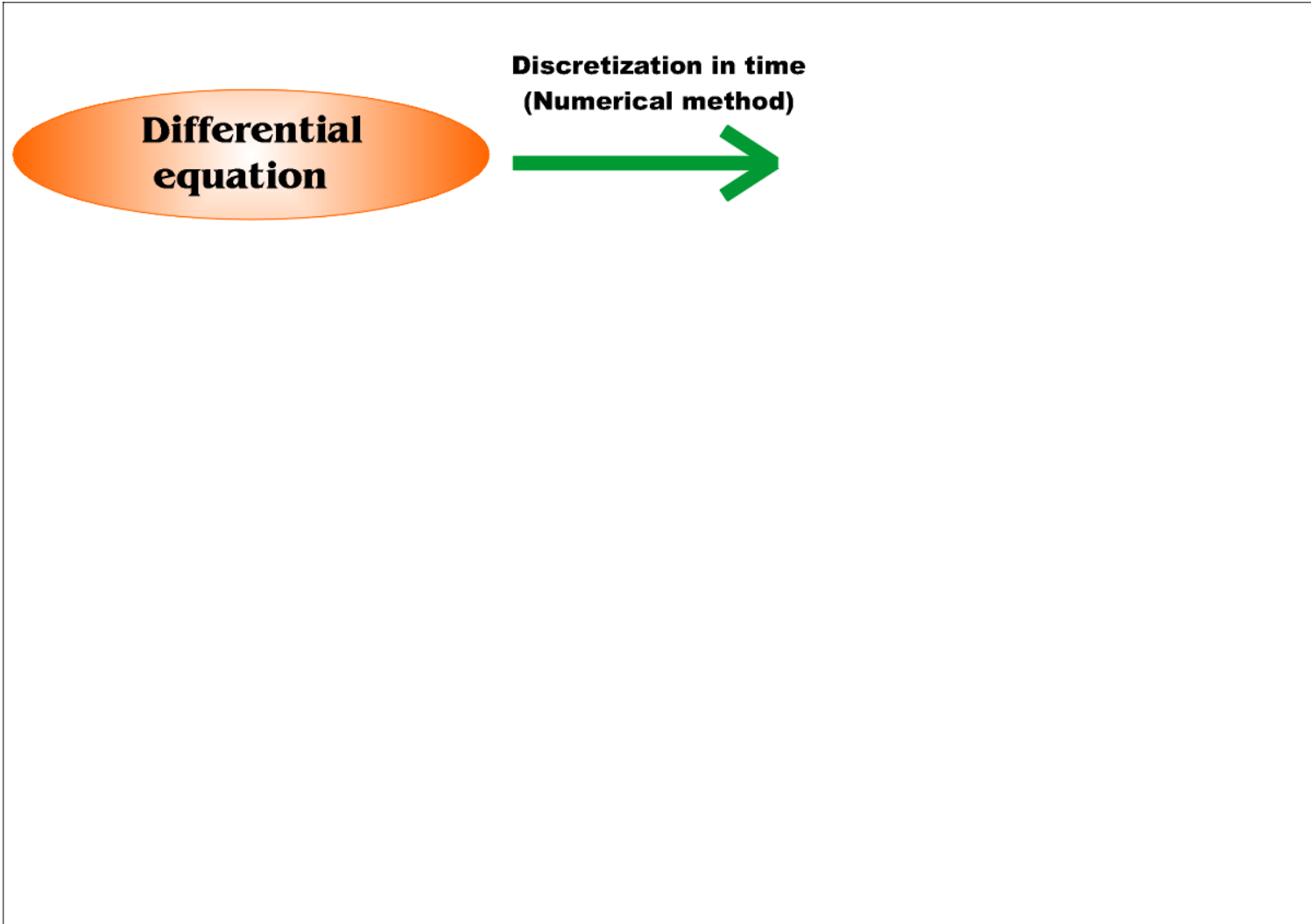
Marian Mrozek

Uniwersytet Jagielloński

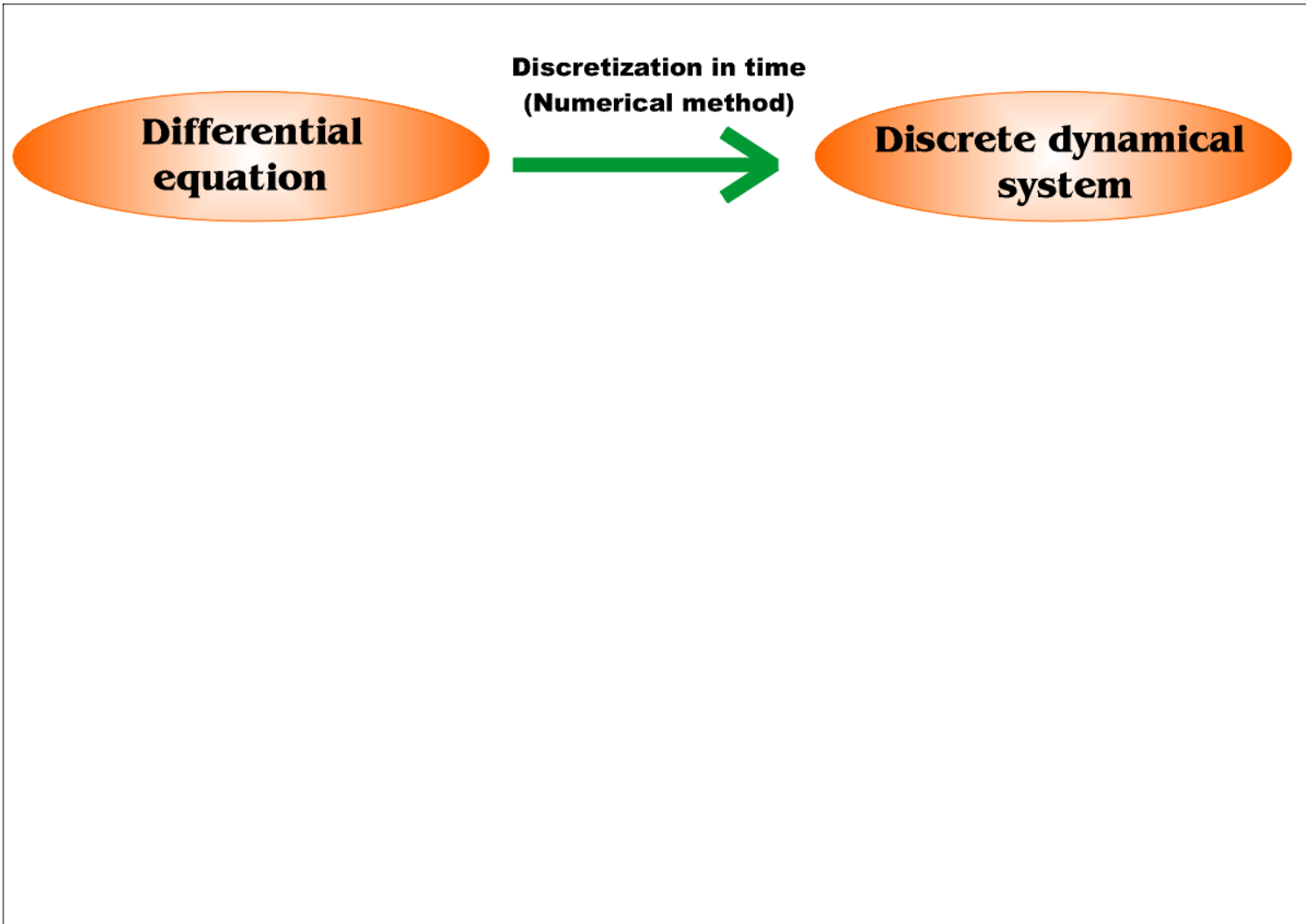
Analiza Numeryczna Układów Dynamicznych₂

**Differential
equation**

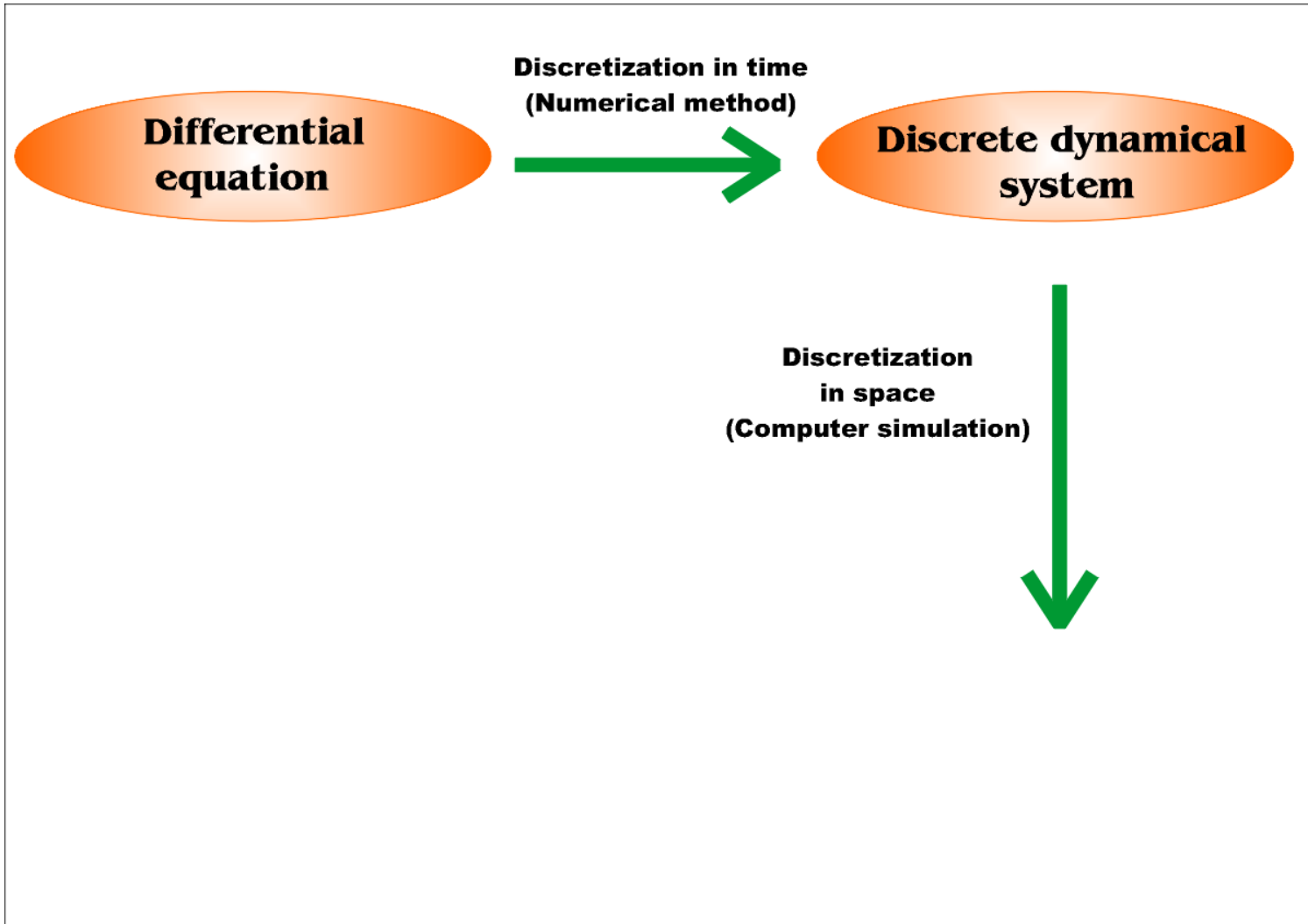
Analiza Numeryczna Układów Dynamicznych ³



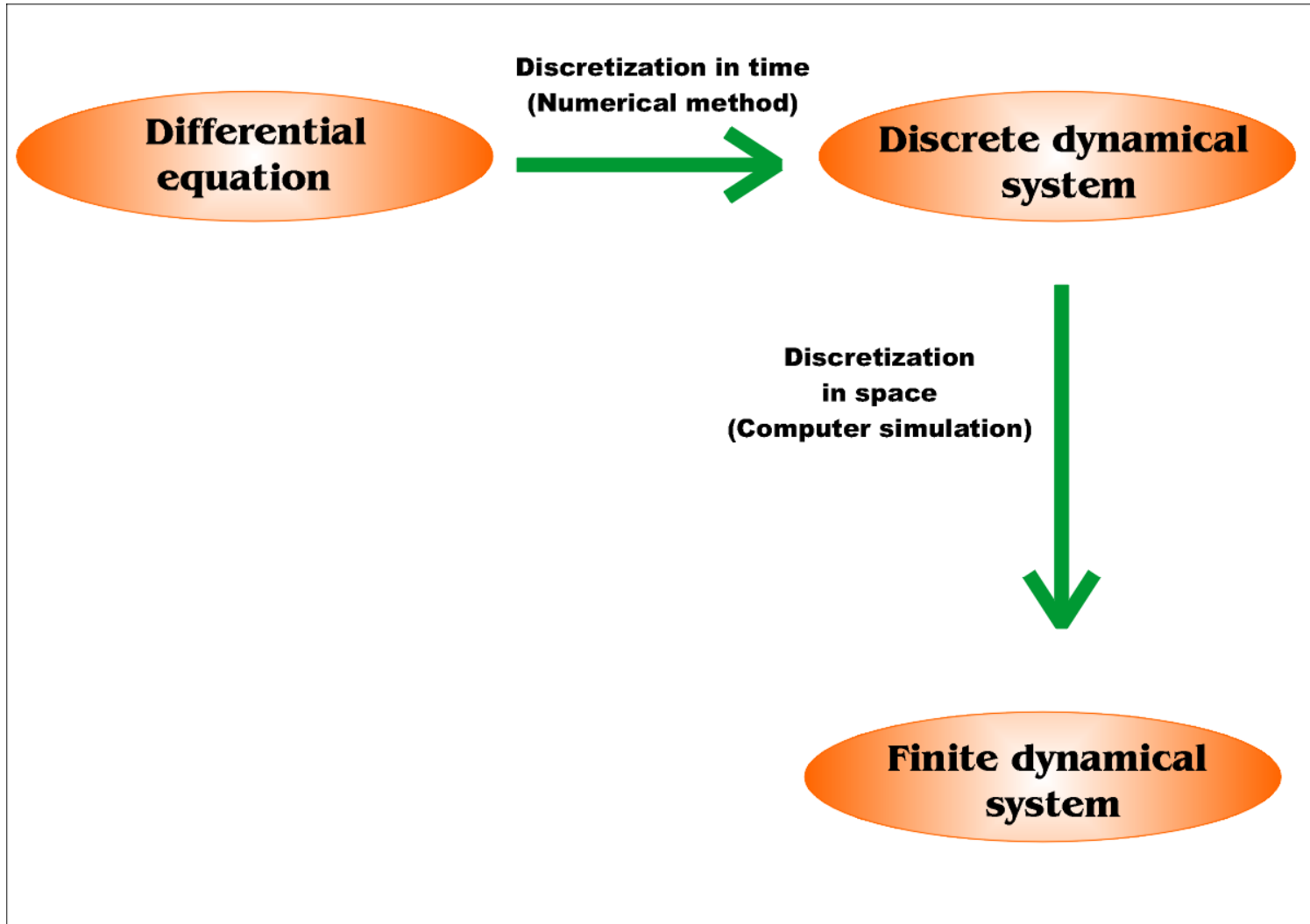
Analiza Numeryczna Układów Dynamicznych ⁴



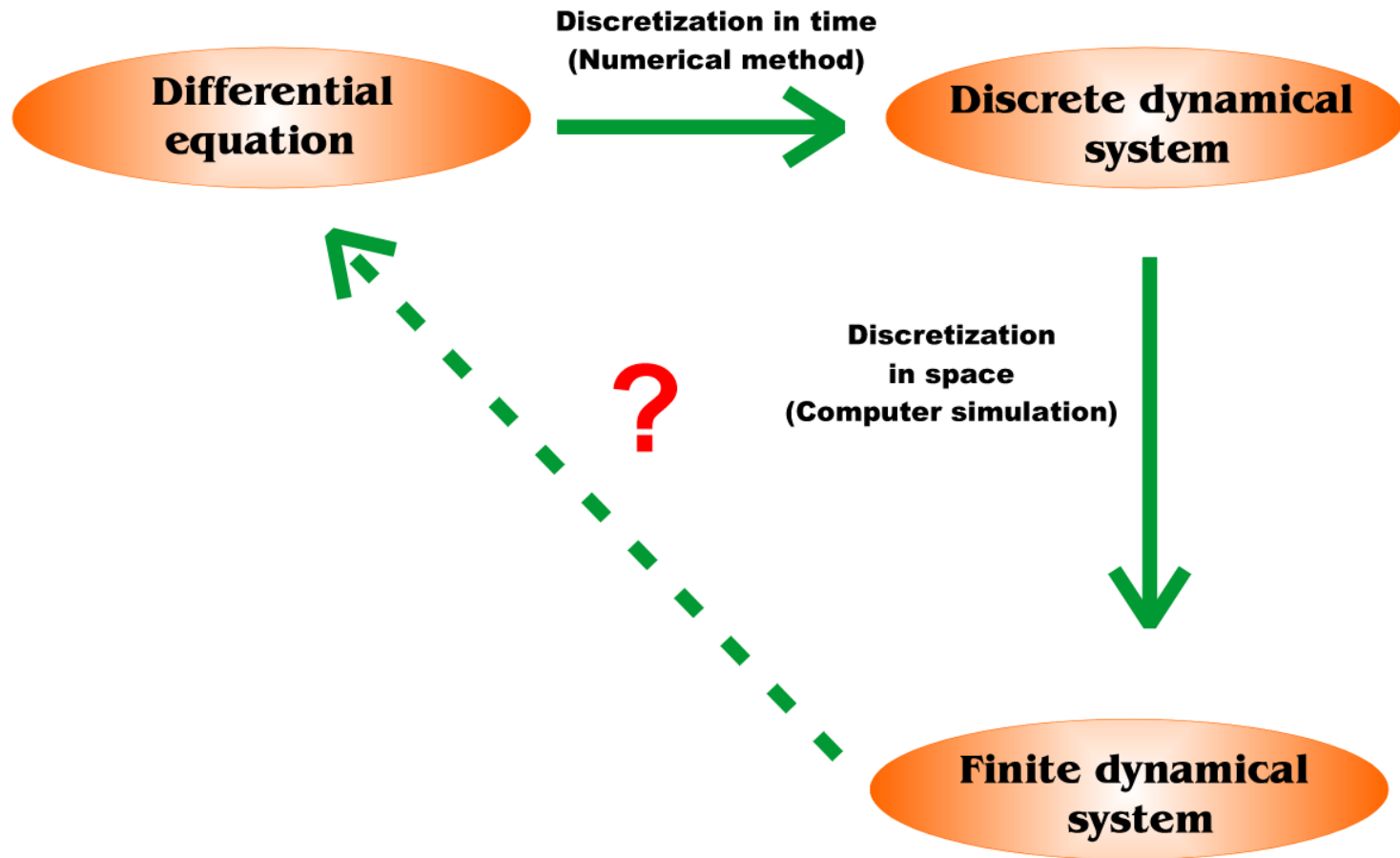
Analiza Numeryczna Układów Dynamicznych⁵



Analiza Numeryczna Układów Dynamicznych ⁶



Analiza Numeryczna Układów Dynamicznych ⁷



Tragiczne konsekwencje błędów numerycznych ⁸



- 25. lutego 1991 w czasie I wojny w Zatoce Persejskiej rakietą Patriot nie trafiła w iracki Scud. W konsekwencji zginęło 28 Amerykanów.

Tragiczne konsekwencje błędów numerycznych ⁸



- 25. lutego 1991 w czasie I wojny w Zatoce Persejskiej rakietą Patriot nie trafiła w iracki Scud. W konsekwencji zginęło 28 Amerykanów.

- Pierwszy lot Ariane 5 w dniu 4. czerwca 1996 zakończył się katastrofą przy starcie powodując straty w wysokości \$370 milionów USD.



Tragiczne konsekwencje błędów numerycznych ⁸

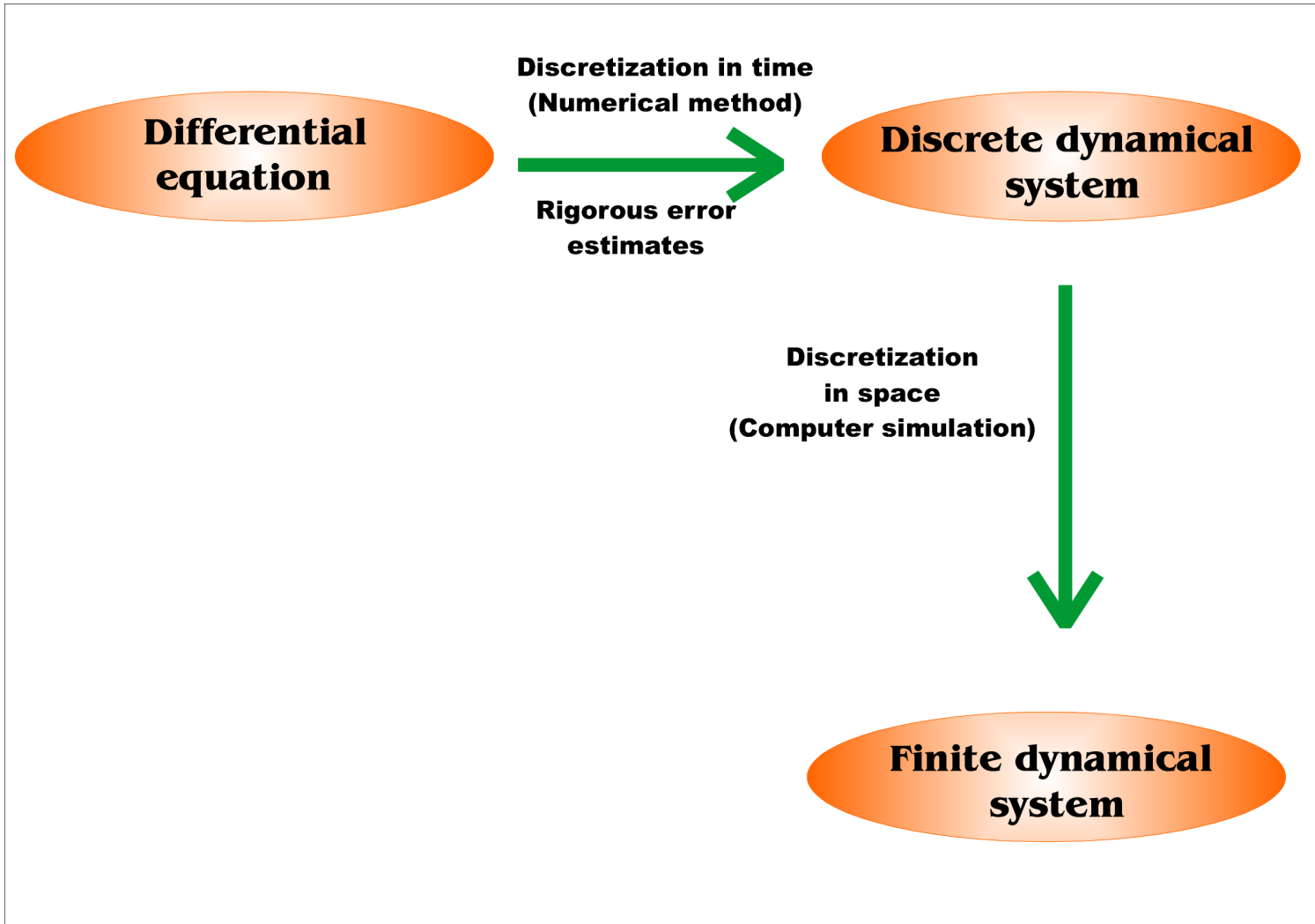


- 25. lutego 1991 w czasie I wojny w Zatoce Persejskiej rakietą Patriot nie trafiła w iracki Scud. W konsekwencji zginęło 28 Amerykanów.

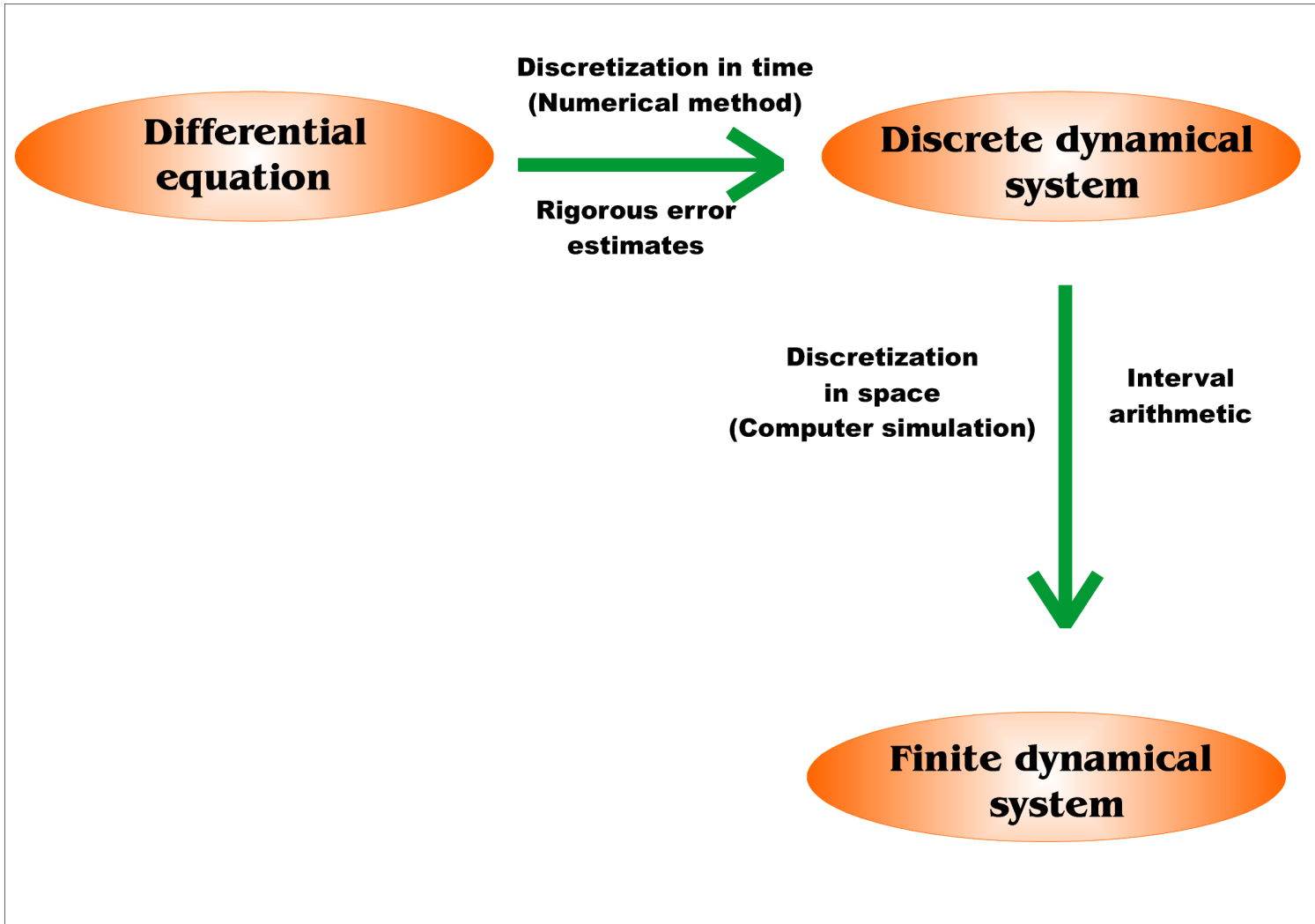
- Pierwszy lot Ariane 5 w dniu 4. czerwca 1996 zakończył się katastrofą przy starcie powodując straty w wysokości \$370 milionów USD.



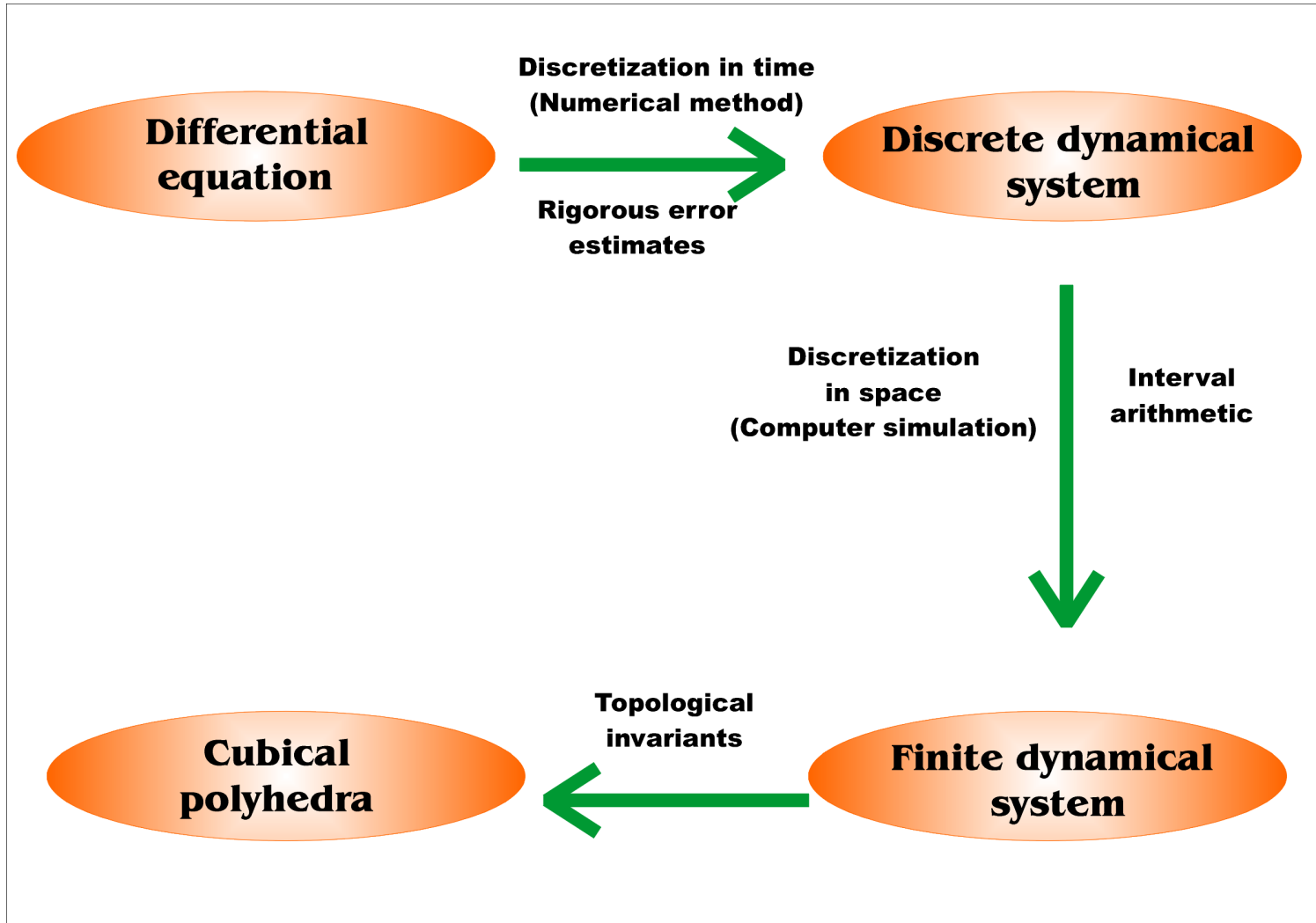
Analiza Numeryczna Układów Dynamicznych 9



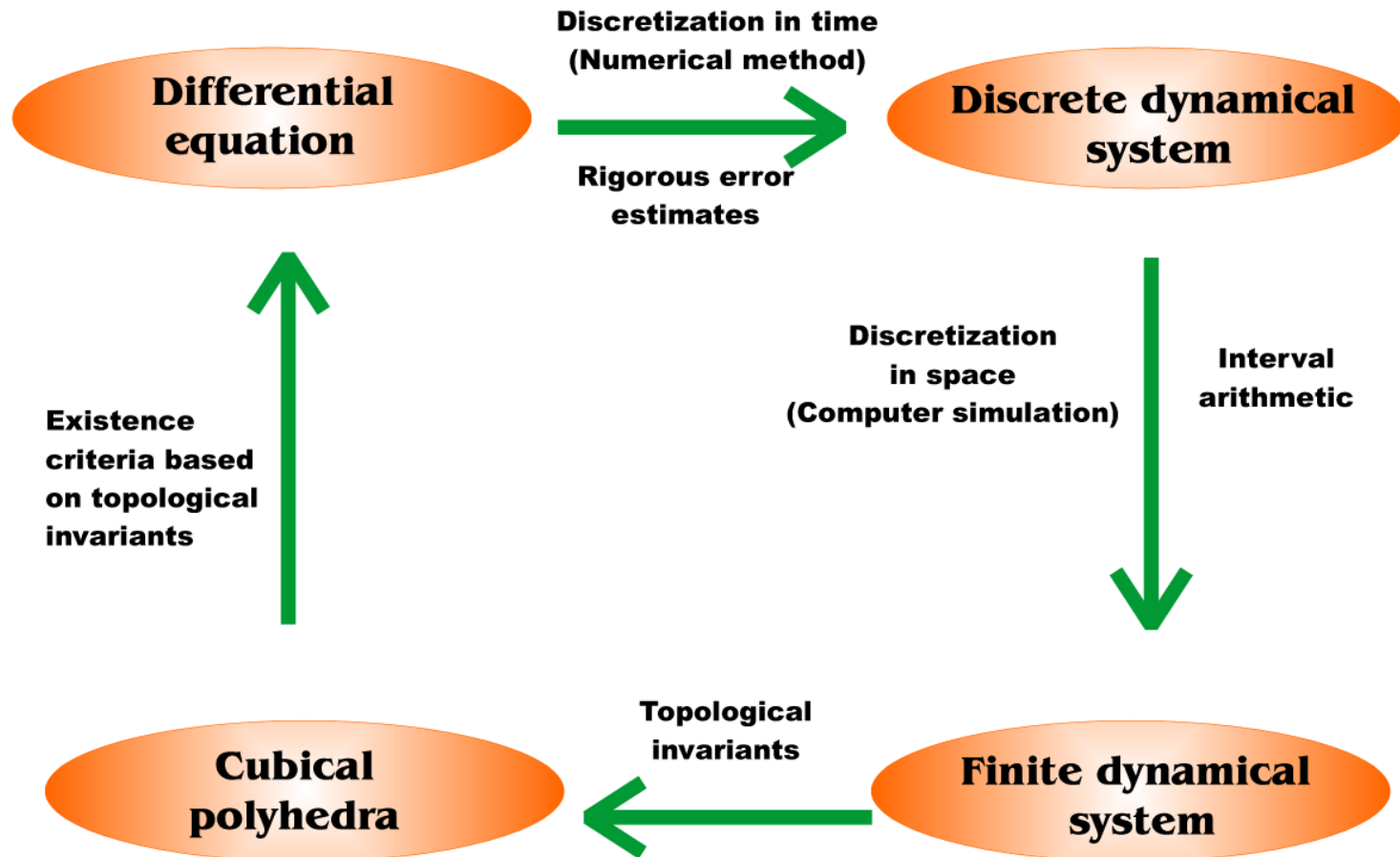
Analiza Numeryczna Układów Dynamicznych ¹⁰



Analiza Numeryczna Układów Dynamicznych ¹¹



Analiza Numeryczna Układów Dynamicznych ¹²



Theorem. (K. Mischaikow, MM, 1995) Consider the Lorenz equations

$$\begin{cases} \dot{x} = \sigma(y - x) \\ \dot{y} = Rx - y - xz \\ \dot{z} = xy - bz \end{cases}$$

and put

$$P := \{(x, y, z) \in \mathbb{R}^3 \mid z = 53\}.$$

For all parameter values in a sufficiently small neighborhood of $(\sigma, R, b) = (45, 54, 10)$, there exists a Poincaré section $N \subset P$ such that the Poincaré map g induced by (1) is Lipschitz and well defined. Furthermore, there exists a $d \in \mathbb{N}$ and a continuous surjection $\rho : \text{Inv}(N, g) \rightarrow \Sigma_2$ such that

$$\rho \circ g^d = \sigma \circ \rho$$

where $\sigma : \Sigma_2 \rightarrow \Sigma_2$ is the full shift dynamics on two symbols.

Zbiory kostkowe ¹⁴

- Przez **kostkę elementarną** $Q = I_1 \times I_2 \times \cdots \times I_d$ rozumiemy iloczyn kartezjański przedziałów I_i o końcach całkowitych i długości 0 (zdegenerowane) lub 1 (niezdegenerowane)

Zbiory kostkowe ¹⁴

- Przez **kostkę elementarną** $Q = I_1 \times I_2 \times \cdots \times I_d$ rozumiemy iloczyn kartezyjski przedziałów I_i o końcach całkowitych i długości 0 (zdegenerowane) lub 1 (niezdegenerowane)
- \mathcal{K} – rodzina kostek elementarnych
- **Zbiór kostkowy** to skończona suma mnogościowa kostek elementarnych.

Zbiory kostkowe ¹⁴

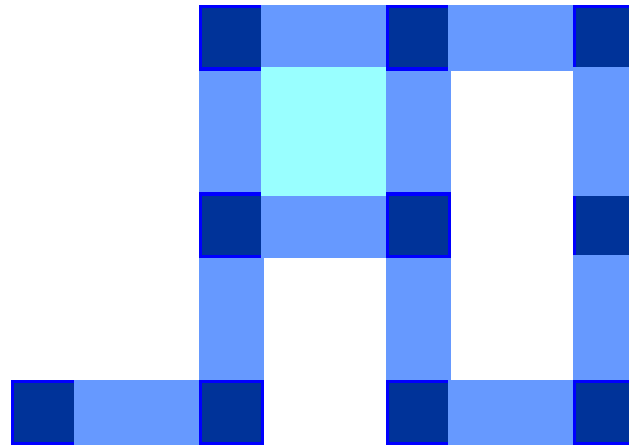
- Przez **kostkę elementarną** $Q = I_1 \times I_2 \times \cdots \times I_d$ rozumiemy iloczyn kartezjański przedziałów I_i o końcach całkowitych i długości 0 (zdegenerowane) lub 1 (niezdegenerowane)
- \mathcal{K} – rodzina kostek elementarnych
- **Zbiór kostkowy** to skończona suma mnogościowa kostek elementarnych.
- **Przestrzeń kostkową** nazywamy przestrzeń topologiczną homeomorficzną z pewnym zbiorem kostkowym.
- Rodzinę kostek elementarnych $\mathcal{X} \subset \mathcal{K}$ nazywamy **reprezentacją** przestrzeni kostkowej X , jeżeli X jest homeomorficzne z $\cup \mathcal{X}$.

Zbiory kostkowe ¹⁴

- Przez **kostkę elementarną** $Q = I_1 \times I_2 \times \cdots \times I_d$ rozumiemy iloczyn kartezjański przedziałów I_i o końcach całkowitych i długości 0 (zdegenerowane) lub 1 (niezdegenerowane)
- \mathcal{K} – rodzina kostek elementarnych
- **Zbiór kostkowy** to skończona suma mnogościowa kostek elementarnych.
- **Przestrzeń kostkową** nazywamy przestrzeń topologiczną homeomorficzną z pewnym zbiorem kostkowym.
- Rodzinę kostek elementarnych $\mathcal{X} \subset \mathcal{K}$ nazywamy **reprezentacją** przestrzeni kostkowej X , jeżeli X jest homeomorficzne z $\cup \mathcal{X}$.

Theorem. (Blass, Holsztyński, 1972) Każdy (skończony) wielościan jest przestrzenią kostkową.

Zbiór kostkowy ₁₅



Pełne zbiory kostkowe ¹⁶

- **Wymiar** kostki elementarnej, oznaczany $\dim Q$, to liczba niezdegenerowanych przedziałów w iloczynie kartezjańskim.

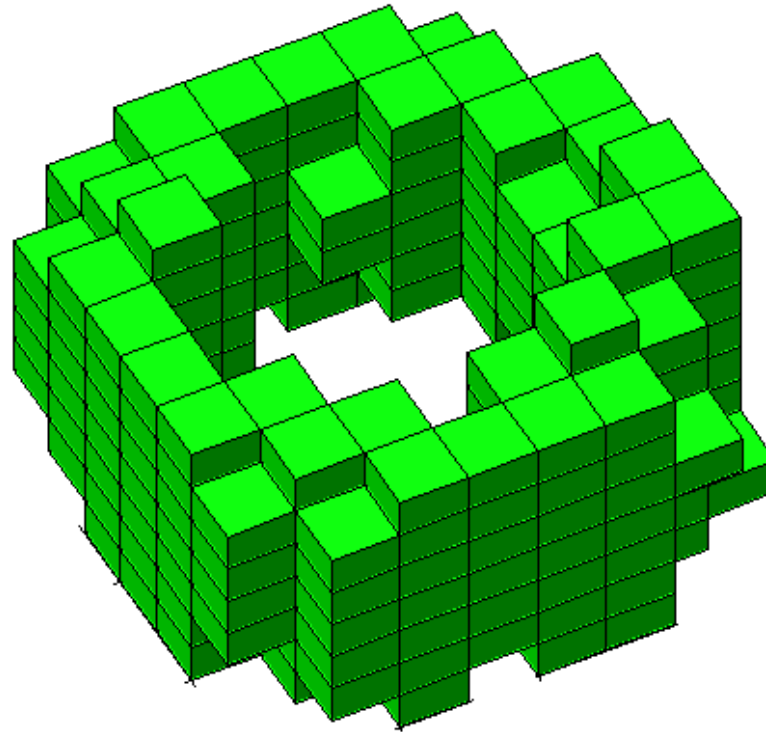
Pełne zbiory kostkowe ¹⁶

- **Wymiar** kostki elementarnej, oznaczany $\dim Q$, to liczba niezdegenerowanych przedziałów w iloczynie kartezjańskim.
- \mathcal{K}_n – rodzina kostek elementarnych wymiaru n
- Kostka elementarna jest **pełna** jeśli wszystkie przedziały w iloczynie kartezjańskim są niezdegenerowane.

Pełne zbiory kostkowe ¹⁶

- **Wymiar** kostki elementarnej, oznaczany $\dim Q$, to liczba niezdegenerowanych przedziałów w iloczynie kartezjańskim.
- \mathcal{K}_n – rodzina kostek elementarnych wymiaru n
- Kostka elementarna jest **pełna** jeśli wszystkie przedziały w iloczynie kartezjańskim są niezdegenerowane.
- Zbiór kostkowy jest **pełny** jeżeli jest skończoną sumą mnogościową pełnych kostek elementarnych.

Pełny zbiór kostkowy ¹⁷



Łańcuchy kostkowe ¹⁸

- Dla kostki elementarnej $Q\mathcal{K}_n$ definiujemy skojarzony łańcuch elementarny jako odwzorowanie $\mathcal{K}_n \rightarrow \mathbb{Z}$ dane wzorem

$$\widehat{Q}(P) = \begin{cases} 1 & \text{jeżeli } P = Q \\ 0 & \text{w przeciwnym razie.} \end{cases}$$

Łańcuchy kostkowe ¹⁸

- Dla kostki elementarnej $Q\mathcal{K}_n$ definiujemy skojarzony łańcuch elementarny jako odwzorowanie $\mathcal{K}_n \rightarrow \mathbb{Z}$ dane wzorem

$$\widehat{Q}(P) = \begin{cases} 1 & \text{jeżeli } P = Q \\ 0 & \text{w przeciwnym razie.} \end{cases}$$

- Łańcuch kostkowy to skończona kombinacja linowa łańcuchów elementarnych tego samego wymiaru, zwanego wymiarem łańcucha.

Łańcuchy kostkowe ¹⁸

- Dla kostki elementarnej $Q\mathcal{K}_n$ definiujemy skojarzony **łańcuch elementarny** jako odwzorowanie $\mathcal{K}_n \rightarrow \mathbb{Z}$ dane wzorem

$$\widehat{Q}(P) = \begin{cases} 1 & \text{jeżeli } P = Q \\ 0 & \text{w przeciwnym razie.} \end{cases}$$

- **Łańcuch kostkowy** to skończona kombinacja linowa łańcuchów elementarnych tego samego wymiaru, zwanego **wymiarem** łańcucha.
- Wszystkie łańcuchy kostkowe wymiaru q tworzą grupę abelową, oznaczaną C_q i zwaną **grupą q -łańcuchów**.

Łańcuchy kostkowe ¹⁸

- Dla kostki elementarnej $Q\mathcal{K}_n$ definiujemy skojarzony łańcuch elementarny jako odwzorowanie $\mathcal{K}_n \rightarrow \mathbb{Z}$ dane wzorem

$$\widehat{Q}(P) = \begin{cases} 1 & \text{jeżeli } P = Q \\ 0 & \text{w przeciwnym razie.} \end{cases}$$

- Łańcuch kostkowy to skończona kombinacja linowa łańcuchów elementarnych tego samego wymiaru, zwanego wymiarem łańcucha.
- Wszystkie łańcuchy kostkowe wymiaru q tworzą grupę abelową, oznaczaną C_q i zwaną grupą q -łańcuchów.

Produkt kostkowy ¹⁹

- Dla dwóch łańcuchów elementarnych \widehat{P}, \widehat{Q} definiujemy ich **iloczyn kostkowy** jako

$$\widehat{P} \diamond \widehat{Q} := \widehat{P \times Q}.$$

Definicję tę rozszerzamy liniowo na dowolne łańcuchy.

Homomorfizm brzegu ²⁰

- **Homomorfizm brzegu** to a homomorfizm $\partial : C_q \rightarrow C_{q-1}$ dany na generatorach wzorem

$$\partial \widehat{Q} := \begin{cases} 0 & \text{if } Q = [l], \\ \widehat{[l+1]} - \widehat{[l]} & \text{if } Q = [l, l+1]. \\ \partial \widehat{I} \diamond \widehat{P} + (-1)^{\dim I} \widehat{I} \diamond \partial \widehat{P} & \text{if } Q = I \times P. \end{cases}$$

Homomorfizm brzegu ²⁰

- **Homomorfizm brzegu** to a homomorfizm $\partial : C_q \rightarrow C_{q-1}$ dany na generatorach wzorem

$$\partial \widehat{Q} := \begin{cases} 0 & \text{if } Q = [l], \\ \widehat{[l+1]} - \widehat{[l]} & \text{if } Q = [l, l+1]. \\ \partial \widehat{I} \diamond \widehat{P} + (-1)^{\dim I} \widehat{I} \diamond \partial \widehat{P} & \text{if } Q = I \times P. \end{cases}$$

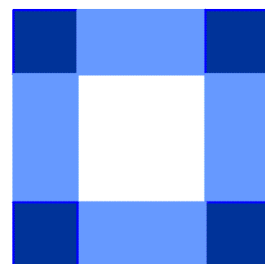
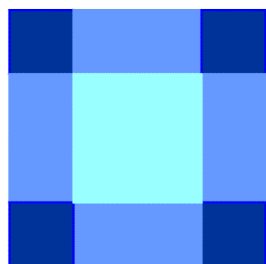
Theorem.

$$\partial \circ \partial = 0$$

Homomorfizm brzegu dla łańcuchów elementarnych ²¹



0



Grupy łańcuchów zbioru kostkowego ²²

- Dla łańcucha kostkowego $c = \sum_{i=1}^n \alpha_i \widehat{Q}_i$ definiujemy jego **support** jako
$$|c| := \cup \{ Q_i \mid \alpha_i \neq 0 \}$$

Grupy łańcuchów zbioru kostkowego ²²

- Dla łańcucha kostkowego $c = \sum_{i=1}^n \alpha_i \widehat{Q}_i$ definiujemy jego **support** jako

$$|c| := \cup \{ Q_i \mid \alpha_i \neq 0 \}$$

- Dla zbioru kostkowego X definiujemy **grupę q -łańcuchów X** jako

$$C_q(X) := \{ c \in C_q \mid |c| \subset X \}.$$

Grupy łańcuchów zbioru kostkowego ²²

- Dla łańcucha kostkowego $c = \sum_{i=1}^n \alpha_i \widehat{Q}_i$ definiujemy jego **support** jako

$$|c| := \cup \{ Q_i \mid \alpha_i \neq 0 \}$$

- Dla zbioru kostkowego X definiujemy **grupę q -łańcuchów X** jako

$$C_q(X) := \{ c \in C_q \mid |c| \subset X \}.$$

- Mamy też **indukowany homomorfizm brzegu**

$$\partial_q^X : C_q(X) \rightarrow C_{q-1}(X).$$

Homologie kostkowe ²³

- Jądro ∂_q^X zwane jest grupą q -cykli X i oznaczane $Z_q(X)$.

Homologie kostkowe ²³

- Jądro ∂_q^X zwane jest grupą q -cykli X i oznaczane $Z_q(X)$.
- Obraz ∂_{q+1}^X zwany jest grupą q -brzegów X i oznaczany jest $B_q(X)$.

Homologie kostkowe ²³

- Jądro ∂_q^X zwane jest grupą q -cykli X i oznaczane $Z_q(X)$.
- Obraz ∂_{q+1}^X zwany jest grupą q -brzegów X i oznaczany jest $B_q(X)$.
- Mamy $B_q(X) \subset Z_q(X)$, co pozwala zdefiniować q -tą grupę homologii X jako

$$H_q(X) := Z_q(X) / B_q(X)$$

Homologie kostkowe ²³

- Jądro ∂_q^X zwane jest grupą q -cykli X i oznaczane $Z_q(X)$.
- Obraz ∂_{q+1}^X zwany jest grupą q -brzegów X i oznaczany jest $B_q(X)$.
- Mamy $B_q(X) \subset Z_q(X)$, co pozwala zdefiniować q -tą grupę homologii X jako

$$H_q(X) := Z_q(X) / B_q(X)$$

- Przez homologie X rozumiemy kolekcję wszystkich grup homologii $H(X) := \{H_q(X)\}$.

Homologie kostkowe ²³

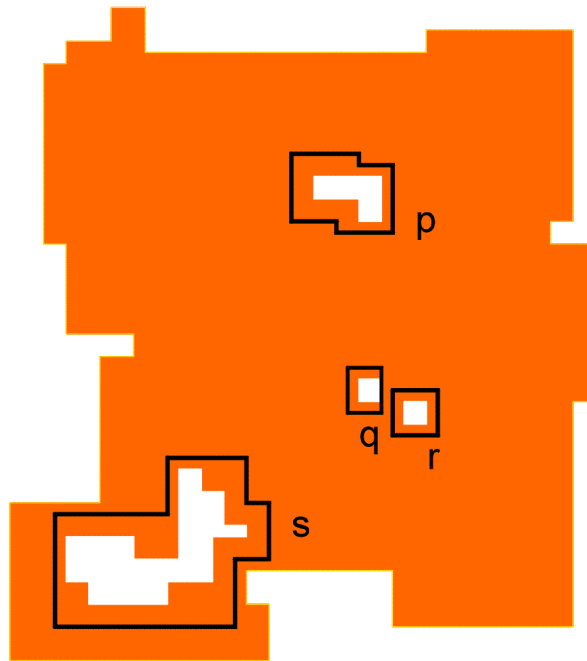
- Jądro ∂_q^X zwane jest grupą q -cykli X i oznaczane $Z_q(X)$.
- Obraz ∂_{q+1}^X zwany jest grupą q -brzegów X i oznaczany jest $B_q(X)$.
- Mamy $B_q(X) \subset Z_q(X)$, co pozwala zdefiniować q -tą grupę homologii X jako

$$H_q(X) := Z_q(X) / B_q(X)$$

- Przez homologie X rozumiemy kolekcję wszystkich grup homologii $H(X) := \{H_q(X)\}$.

Theorem. Jeżeli X i Y są homeomorficznymi zbiorami kostkowymi, to $H(X)$ and $H(Y)$ są izomorficzne.

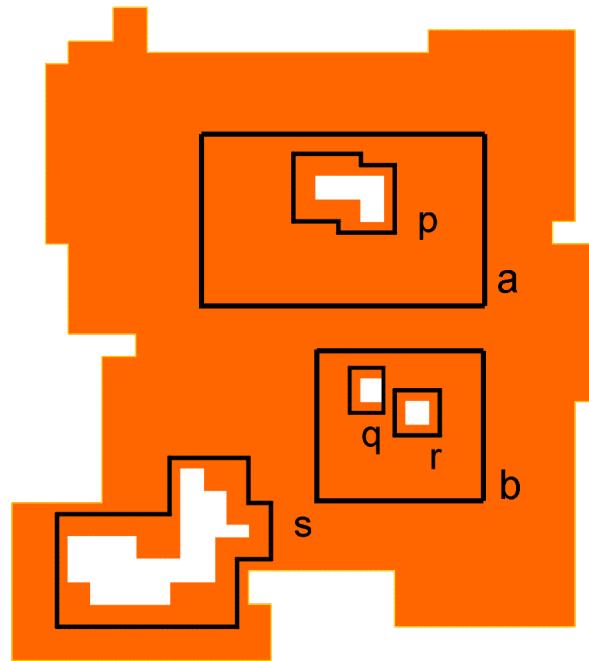
Homologie kostkowe ²⁴



Y

$$H_1(Y) = \mathbb{Z} p + \mathbb{Z} q + \mathbb{Z} r + \mathbb{Z} s$$

Homologie kostkove ²⁵



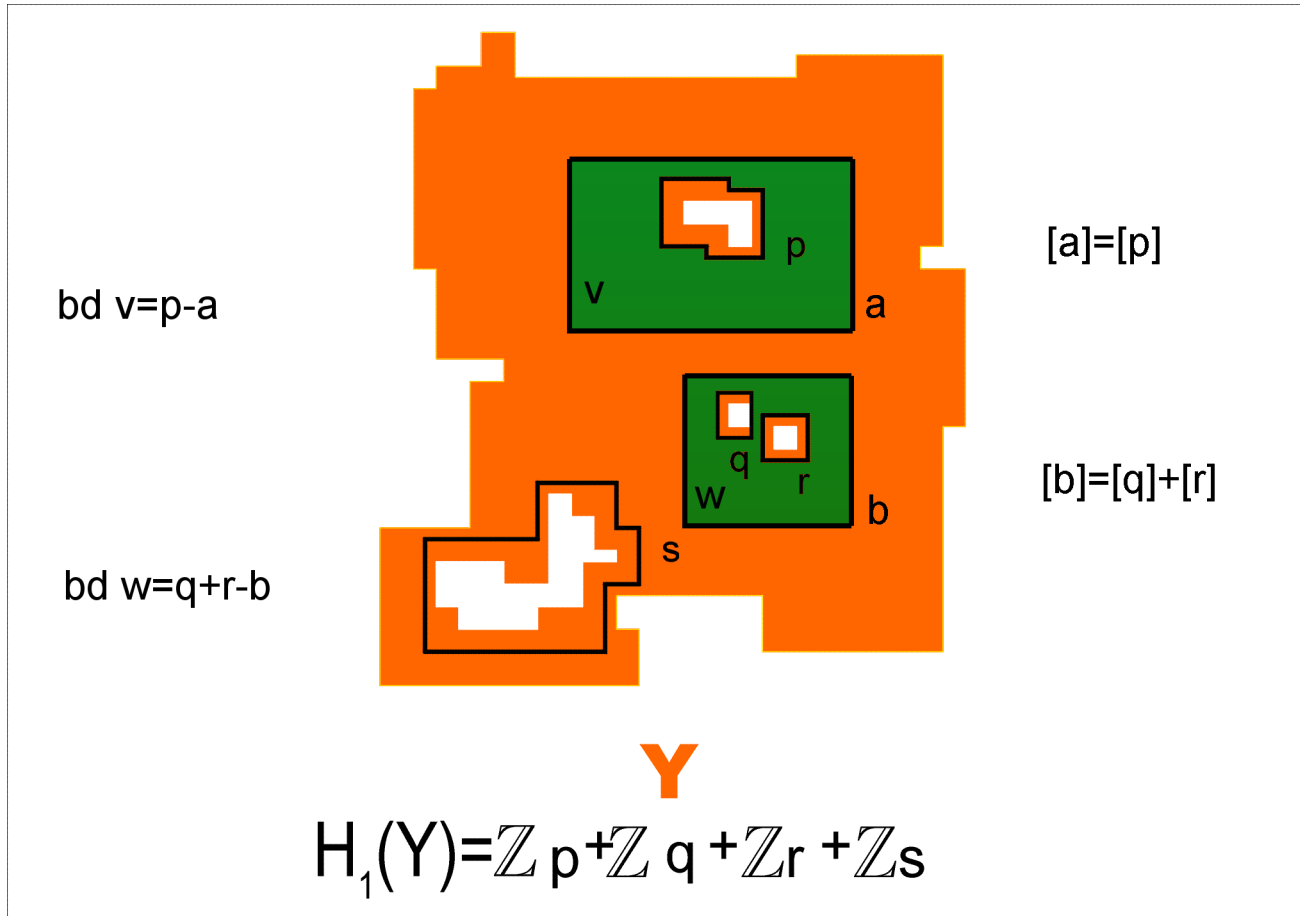
$$[a]=[p]$$

$$[b]=[q]+[r]$$

Y

$$H_1(Y)=\mathbb{Z} p+\mathbb{Z} q+\mathbb{Z} r+\mathbb{Z} s$$

Homologie kostkowe ²⁶



Algorytm Smitha diagonalizacji macierzy ²⁷

Theorem. (Smith, 1861) Let G and G' be free abelian groups of ranks n and m respectively; let $f : G \rightarrow G'$ be a homomorphism. Then there are bases for G and G' such that, relative to these bases, the matrix of f has the form

$$\left[\begin{array}{cc|c} b_1 & & 0 \\ & \cdot & \\ & & \cdot & 0 \\ & & & \cdot \\ 0 & & & b_l \\ \hline & 0 & & 0 \end{array} \right]$$

where $b_i \geq 1$ and $b_1 | b_2 | \dots | b_l$.

Theorem. Let $\mathcal{C} = \{C_p, \partial_p\}$ be a chain complex; suppose each group C_p is free of finite rank. Then for each p there are subgroups U_p, V_p, W_p of C_p such that

$$C_p = U_p \oplus V_p \oplus W_p,$$

where $\partial_p(U_p) \subset W_{p-1}$, $\partial_p(V_p) = 0$ and $\partial_p(W_p) = 0$. Furthermore, there are bases for U_p and W_{p-1} relative to which $\partial_{p+1} : U_{p+1} \rightarrow W_p$ has a matrix of the form

$$\begin{bmatrix} b_1 & & & 0 \\ & \cdot & & \\ & & \cdot & \\ & & & \cdot \\ 0 & & & & b_l \end{bmatrix}$$

where $b_i \geq 1$ and $b_1 | b_2 | \dots | b_l$. In particular

$$H_p(\mathcal{C}) = V_p \oplus (W_p / B_p)$$

Złożoność algorytmu Smitha ²⁹

mierzona w zależności od $s = m + n + \log k$, gdzie

m, n — liczba wierszy i kolumn macierzy

k — największa wartość bezwzględna elementów macierzy

- $O(2^s)$ — klasyczny algorytm Smitha (1861)

Złożoność algorytmu Smitha ²⁹

mierzona w zależności od $s = m + n + \log k$, gdzie

m, n — liczba wierszy i kolumn macierzy

k — największa wartość bezwzględna elementów macierzy

- $O(2^s)$ — klasyczny algorytm Smitha (1861)
- $O(s^{11})$ — R. Kannan, A. Bachem (1979)

Złożoność algorytmu Smitha ²⁹

mierzona w zależności od $s = m + n + \log k$, gdzie

m, n — liczba wierszy i kolumn macierzy

k — największa wartość bezwzględna elementów macierzy

- $O(2^s)$ — klasyczny algorytm Smitha (1861)
- $O(s^{11})$ — R. Kannan, A. Bachem (1979)
- $O(s^5)$ — C.S. Illiopoulos (1989)

Złożoność algorytmu Smitha ²⁹

mierzona w zależności od $s = m + n + \log k$, gdzie

m, n — liczba wierszy i kolumn macierzy

k — największa wartość bezwzględna elementów macierzy

- $O(2^s)$ — klasyczny algorytm Smitha (1861)
- $O(s^{11})$ — R. Kannan, A. Bachem (1979)
- $O(s^5)$ — C.S. Illiopoulos (1989)
- $O^\sim(s^{\theta+1})$ — A. Storjohann (1996) — najlepszy znany deterministyczny ($\theta \approx 2.376\dots$)

Złożoność algorytmu Smitha ²⁹

mierzona w zależności od $s = m + n + \log k$, gdzie

m, n — liczba wierszy i kolumn macierzy

k — największa wartość bezwzględna elementów macierzy

- $O(2^s)$ — klasyczny algorytm Smitha (1861)
- $O(s^{11})$ — R. Kannan, A. Bachem (1979)
- $O(s^5)$ — C.S. Illiopoulos (1989)
- $O^\sim(s^{\theta+1})$ — A. Storjohann (1996) — najlepszy znany deterministyczny ($\theta \approx 2.376\dots$)
- probabilistyczny dla rzadkich macierzy: $O(s^3 \log^2 s)$ — M. Giesbrecht (2000)

Złożoność algorytmu Smitha ²⁹

mierzona w zależności od $s = m + n + \log k$, gdzie

m, n — liczba wierszy i kolumn macierzy

k — największa wartość bezwzględna elementów macierzy

- $O(2^s)$ — klasyczny algorytm Smitha (1861)
- $O(s^{11})$ — R. Kannan, A. Bachem (1979)
- $O(s^5)$ — C.S. Illiopoulos (1989)
- $O^{\sim}(s^{\theta+1})$ — A. Storjohann (1996) — najlepszy znany deterministyczny ($\theta \approx 2.376\dots$)
- probabilistyczny dla rzadkich macierzy: $O(s^3 \log^2 s)$ — M. Giesbrecht (2000)
- probabilistyczny $O(s^{3.5} \log^{4.5} s)$ — W. Eberly, M. Giesbrecht, G. Villard (2000)

Złożoność algorytmu Smitha ²⁹

mierzona w zależności od $s = m + n + \log k$, gdzie

m, n — liczba wierszy i kolumn macierzy

k — największa wartość bezwzględna elementów macierzy

- $O(2^s)$ — klasyczny algorytm Smitha (1861)
- $O(s^{11})$ — R. Kannan, A. Bachem (1979)
- $O(s^5)$ — C.S. Illiopoulos (1989)
- $O^{\sim}(s^{\theta+1})$ — A. Storjohann (1996) — najlepszy znany deterministyczny ($\theta \approx 2.376\dots$)
- probabilistyczny dla rzadkich macierzy: $O(s^3 \log^2 s)$ — M. Giesbrecht (2000)
- probabilistyczny $O(s^{3.5} \log^{4.5} s)$ — W. Eberly, M. Giesbrecht, G. Villard (2000)

Wejście dla algorytmu liczącego homologie zbiorów ³⁰

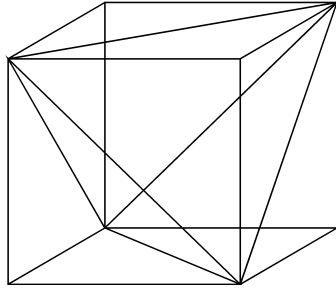
Standardowo na wejściu algebraicznego algorytmu liczącego homologie oczekuje się macierzy homomorfizmu brzegu.

Standardowo na wejściu algebraicznego algorytmu liczącego homologie oczekuje się macierzy homomorfizmu brzegu.

- Algorytm liczący homologie zbioru na wejściu przyjmuje listę komórek maksymalnego wymiaru (sympleksów, kostek, CW kompleksów)

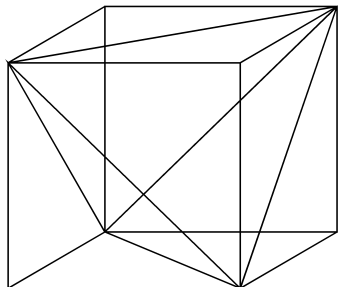
Standardowo na wejściu algebraicznego algorytmu liczącego homologie oczekuje się macierzy homomorfizmu brzegu.

- Algorytm liczący homologie zbioru na wejściu przyjmuje listę komórek maksymalnego wymiaru (sympleksów, kostek, CW kompleksów)
- Generowanie ścian i macierzy homomorfizmu brzegu jest nieodłączną częścią algorytmu liczącego homologie zbiorów!



Kompleks symplecjalny

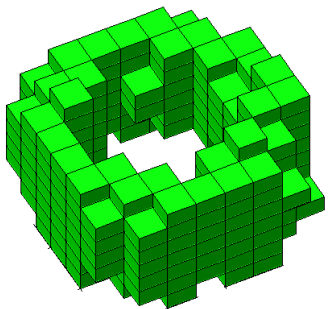
- klasyczna

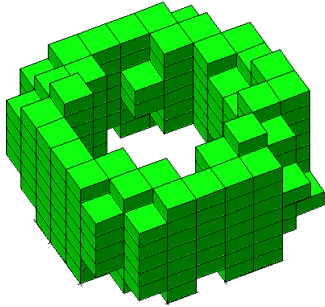
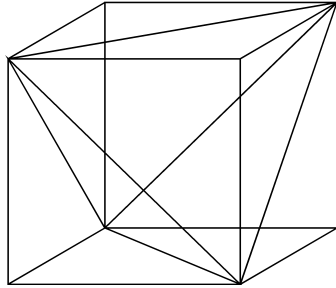


Kompleks symplecjalny

- klasyczna

Zbiór kostkowy



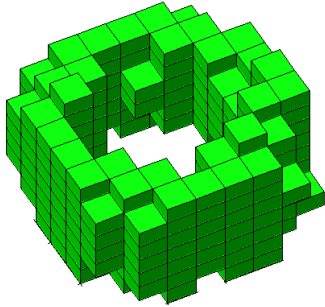
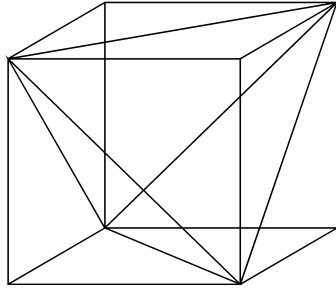


Kompleks symplecjalny

- klasyczna

Zbiór kostkowy

- typowa w analizie obrazów i ścisłej analizie numerycznej
- bardzo szybka i efektywna (**bit-mapy**)

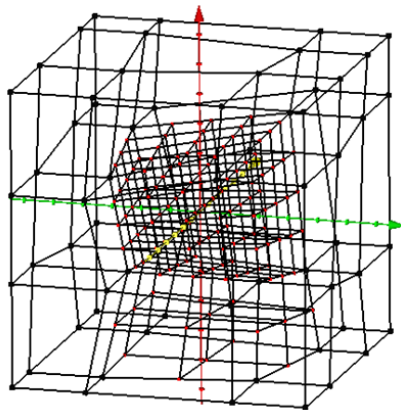
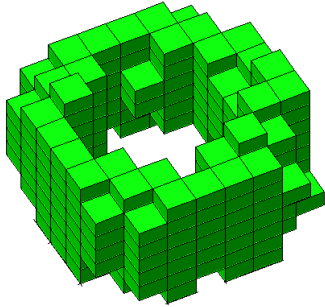
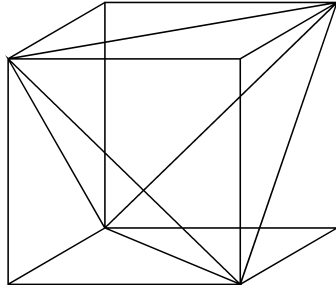


Kompleks symplecjalny

- klasyczna

Zbiór kostkowy

- typowa w analizie obrazów i ścisłej analizie numerycznej
- bardzo szybka i efektywna (**bit-mapy**)
- prowadzi bezpośrednio do homologii kostkowych
- zła dla niejednostajnych przypadków

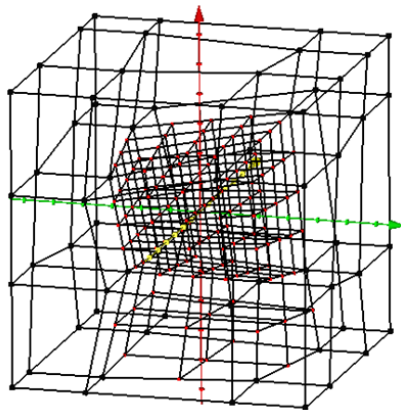
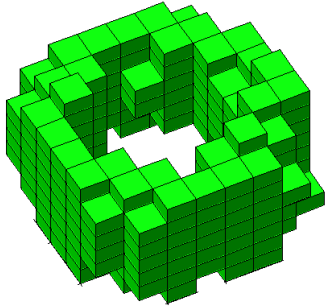
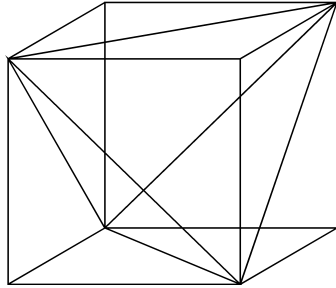


Kompleks symplecjalny

- klasyczna

Zbiór kostkowy

- typowa w analizie obrazów i ścisłej analizie numerycznej
- bardzo szybka i efektywna (bit-mapy)
- prowadzi bezpośrednio do homologii kostkowych
- zła dla niejednostajnych przypadków



Kompleks symplecjalny

- klasyczna

Zbiór kostkowy

- typowa w analizie obrazów i ścisłej analizie numerycznej
- bardzo szybka i efektywna (bitmapy)
- prowadzi bezpośrednio do homologii kostkowych
- zła dla niejednostajnych przypadków

Dowolne wielościany

- najogólniejsza
- otrzymanie kompleksu łańcuchowego jest trudne

Triangulacja kostki ³⁴

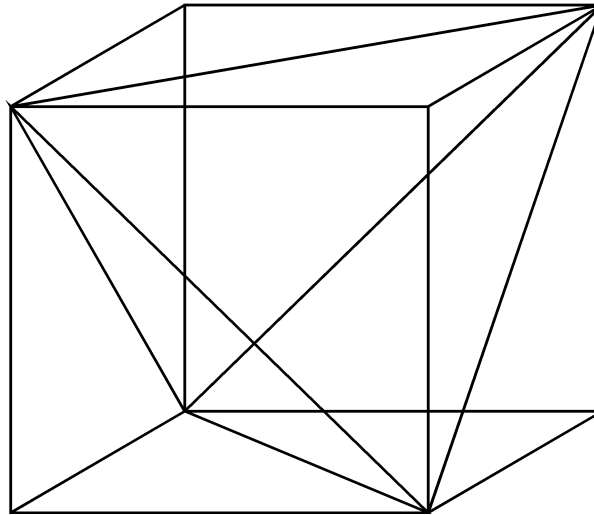
- Ile potrzeba sympleksów by striangulować d -kostkę?

Triangulacja kostki ³⁴

- Ile potrzeba sympleksów by striangulować d -kostkę?
- Nie więcej niż $d!$, ale czy da się lepiej?

Triangulacja kostki ³⁴

- Ile potrzeba sympleksów by striangulować d -kostkę?
- Nie więcej niż $d!$, ale czy da się lepiej?



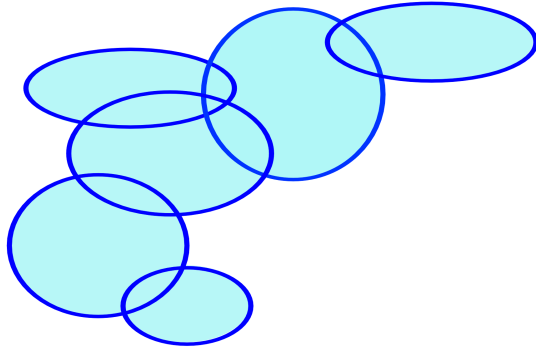
Triangulacija kostki ³⁵

Theorem. Hughes, Anderson (1995), Bliss, Su (2005)

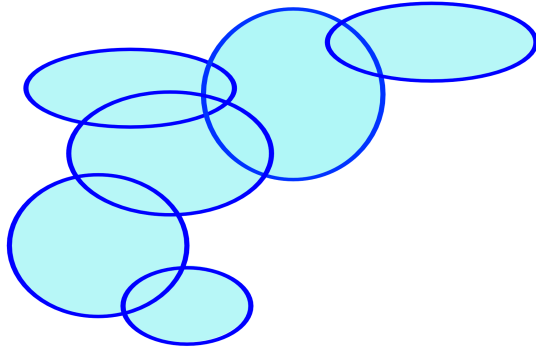
d	1	2	3	4	5	6	7
$T^v(d)$	1	2	5	16	67	308	1493
$T(d)$	1	2	5	16	?	?	?

Podejście poprzez homologie Čecha ³⁶

- **Struktura Čecha** : skończona, niepusta rodzina \mathcal{X} niepustych, zwartych, wypukłych podzbiorów \mathbb{R}^d

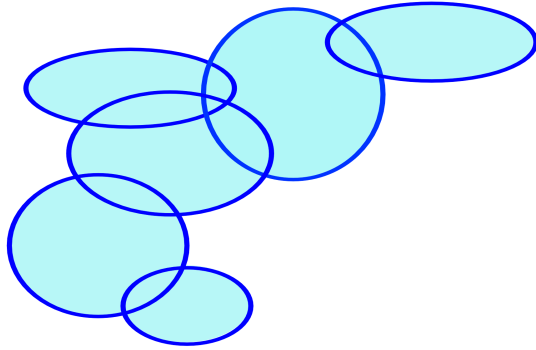


Podejście poprzez homologie Čecha ³⁶



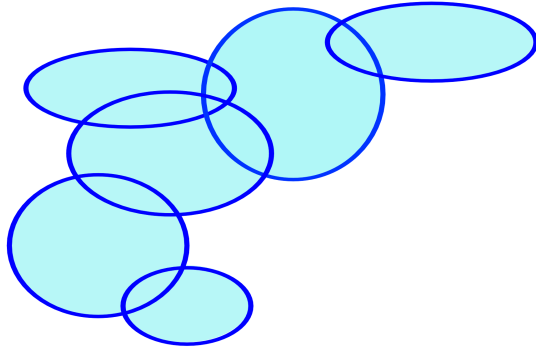
- **Struktura Čecha** : skończona, niepusta rodzina \mathcal{X} niepustych, zwartych, wypukłych podzbiorów \mathbb{R}^d
- **support** \mathcal{X} : suma mnogościowa \mathcal{X} , oznaczana $|\mathcal{X}| := \cup \mathcal{X}$

Podejście poprzez homologie Čecha ³⁶



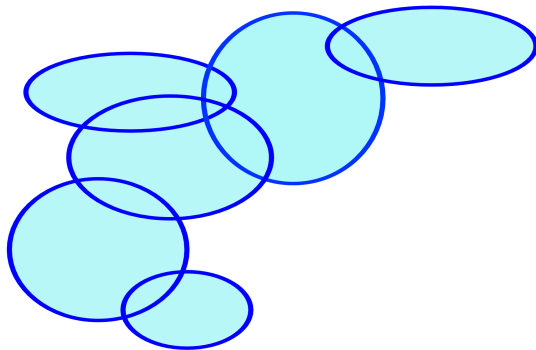
- **Struktura Čecha** : skończona, niepusta rodzina \mathcal{X} niepustych, zwartych, wypukłych podzbiorów \mathbb{R}^d
- **support** \mathcal{X} : suma mnogościowa \mathcal{X} , oznaczana $|\mathcal{X}| := \cup \mathcal{X}$
- **wielościan Čecha**: support struktury Čecha

Podejście poprzez homologie Čecha ³⁶



- **Struktura Čecha** : skończona, niepusta rodzina \mathcal{X} niepustych, zwartych, wypukłych podzbiorów \mathbb{R}^d
- **support** \mathcal{X} : suma mnogościowa \mathcal{X} , oznaczana $|\mathcal{X}| := \cup \mathcal{X}$
- **wielościan Čecha**: support struktury Čecha
- **nerw struktury Čecha**

Podejście poprzez homologie Čecha ³⁶

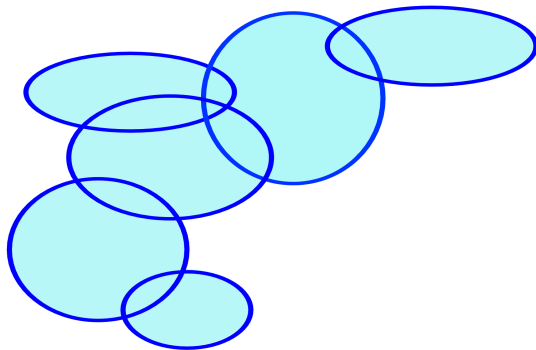


- **Struktura Čecha** : skończona, niepusta rodzina \mathcal{X} niepustych, zwartych, wypukłych podzbiorów \mathbb{R}^d
- **support** \mathcal{X} : suma mnogościowa \mathcal{X} , oznaczana $|\mathcal{X}| := \cup \mathcal{X}$
- **wielościan Čecha**: support struktury Čecha
- **nerw struktury Čecha**

$$K(\mathcal{X}) := \{ \mathcal{S} \subset \mathcal{X} \mid \cap \mathcal{S} \neq \emptyset \}$$

$K(\mathcal{X})$ ma strukturę abstrakcyjnego kompleksu symplecjajnego.

Podejście poprzez homologie Čecha ³⁶

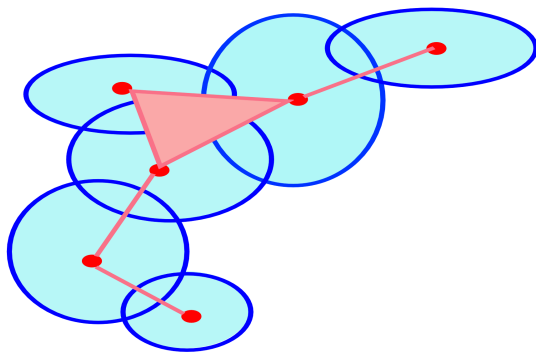


- **Struktura Čecha** : skończona, niepusta rodzina \mathcal{X} niepustych, zwartych, wypukłych podzbiorów \mathbb{R}^d
- **support** \mathcal{X} : suma mnogościowa \mathcal{X} , oznaczana $|\mathcal{X}| := \cup \mathcal{X}$
- **wielościan Čecha**: support struktury Čecha
- **nerw struktury Čecha**

$$K(\mathcal{X}) := \{ \mathcal{S} \subset \mathcal{X} \mid \cap \mathcal{S} \neq \emptyset \}$$

$K(\mathcal{X})$ ma strukturę abstrakcyjnego kompleksu symplecjajnego.

Podejście poprzez homologie Čech ³⁷



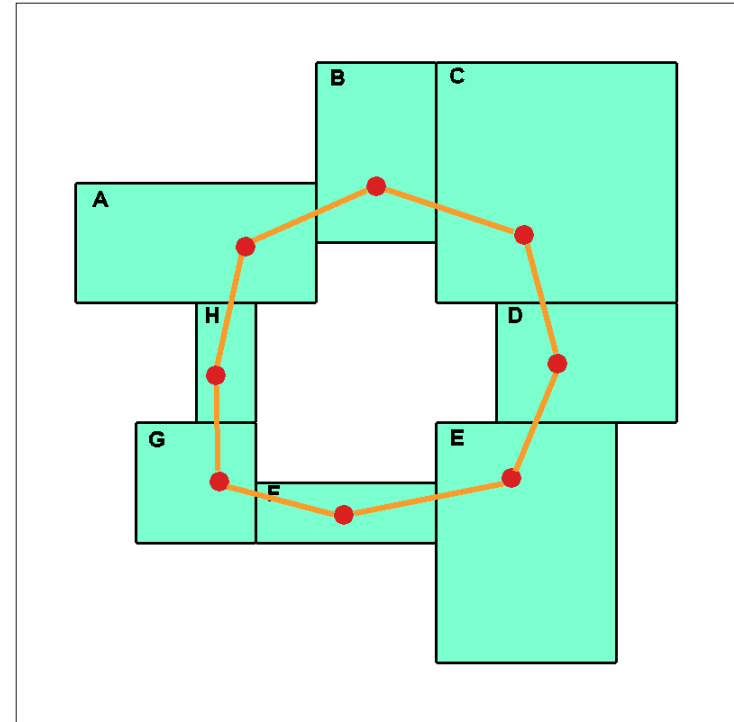
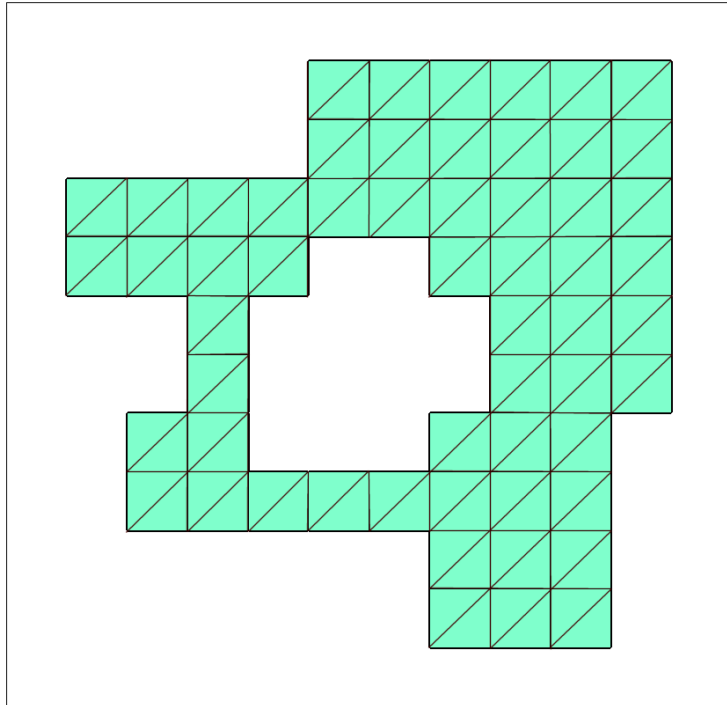
- **Struktura Čecha** : skończona, niepusta rodzina \mathcal{X} niepustych, zwartych, wypukłych podzbiorów \mathbb{R}^d
- **support** \mathcal{X} : suma mnogościowa \mathcal{X} , oznaczana $|\mathcal{X}| := \cup \mathcal{X}$
- **wieścian Čecha**: support struktury Čecha
- **nerw struktury Čecha**

$$K(\mathcal{X}) := \{ \mathcal{S} \subset \mathcal{X} \mid \cap \mathcal{S} \neq \emptyset \}$$

$K(\mathcal{X})$ ma strukturę abstrakcyjnego kompleksu symplecjialnego.

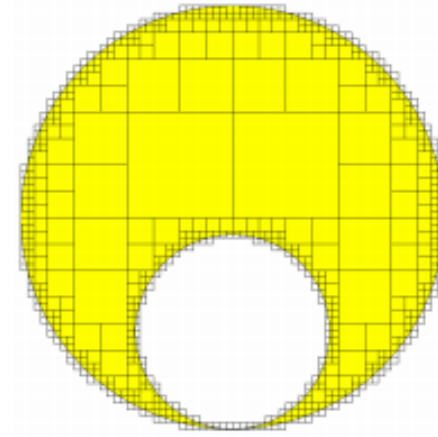
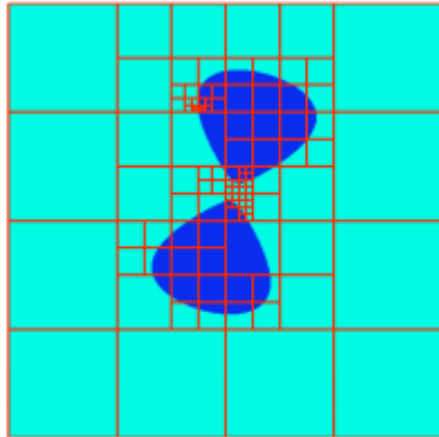
Theorem. Corollary of the Nerve Theorem (Borsuk 1948, Weil 1952, Wu 1962 ...) The homology of a nerve of a Čech polyhedron X does not depend on the Čech structure and is isomorphic to the singular homology of X .

Reprezentacija Čecha ³⁸



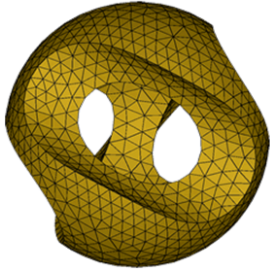
Reprezentacija sympticjalna, a reprezentacija Čecha

Prostopadłościenne CW kompleksy ³⁹



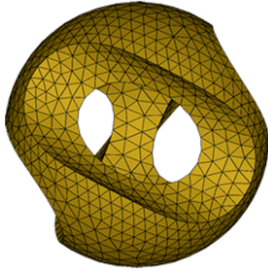
Podejście standardowe ⁴⁰

Natychmiastowa algebraizacja:



Natychmiastowa algebraizacja:

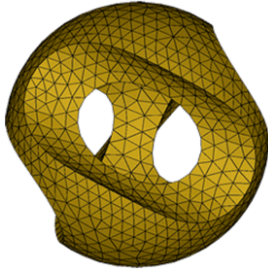
- wygenerować ściany



Natychnmiastowa algebraizacja:

- wygenerować ściany
- skonstruować homomorfizm brzegu

$$D_k = \begin{bmatrix} \mathbf{1} & -\mathbf{1} & 0 & 0 & \dots \\ \mathbf{1} & 0 & \mathbf{1} & 0 & \dots \\ -\mathbf{1} & \mathbf{1} & 0 & 0 & \dots \\ 0 & \mathbf{1} & 0 & 0 & \dots \\ \cdot & \cdot & \cdot & \cdot & \cdot \end{bmatrix}$$



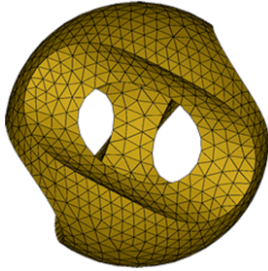
Natychniastowa algebraizacja:

- wygenerować ściany
- skonstruować homomorfizm brzegu
- wyznaczyć diagonalizację Smitha i odczytać liczby Bettiego

$$D_k = \begin{bmatrix} \mathbf{1} & -\mathbf{1} & 0 & 0 & \dots \\ \mathbf{1} & 0 & \mathbf{1} & 0 & \dots \\ -\mathbf{1} & \mathbf{1} & 0 & 0 & \dots \\ 0 & \mathbf{1} & 0 & 0 & \dots \\ \cdot & \cdot & \cdot & \cdot & \cdot \end{bmatrix}$$

$$B_k = Q^{-1}D_kR$$

$$B_k = \begin{bmatrix} \mathbf{2} & 0 & 0 & 0 & \dots \\ 0 & \mathbf{1} & 0 & 0 & \dots \\ 0 & 0 & \mathbf{1} & 0 & \dots \\ 0 & 0 & 0 & 0 & \dots \\ \cdot & \cdot & \cdot & \cdot & \cdot \end{bmatrix}$$



Natychniastowa algebraizacja:

- wygenerować ściany
- skonstruować homomorfizm brzegu
- wyznaczyć diagonalizację Smitha i odczytać liczby Bettiego

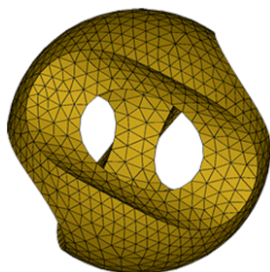
Zalety:

- standardowa algebra liniowa
- łatwo adaptować do liczenia generatorów homologii

$$D_k = \begin{bmatrix} 1 & -1 & 0 & 0 & \dots \\ 1 & 0 & 1 & 0 & \dots \\ -1 & 1 & 0 & 0 & \dots \\ 0 & 1 & 0 & 0 & \dots \\ \cdot & \cdot & \cdot & \cdot & \cdot \end{bmatrix}$$

$$B_k = Q^{-1}D_kR$$

$$B_k = \begin{bmatrix} \mathbf{2} & 0 & 0 & 0 & \dots \\ 0 & \mathbf{1} & 0 & 0 & \dots \\ 0 & 0 & \mathbf{1} & 0 & \dots \\ 0 & 0 & 0 & 0 & \dots \\ \cdot & \cdot & \cdot & \cdot & \cdot \end{bmatrix}$$



$$D_k = \begin{bmatrix} 1 & -1 & 0 & 0 & \dots \\ 1 & 0 & 1 & 0 & \dots \\ -1 & 1 & 0 & 0 & \dots \\ 0 & 1 & 0 & 0 & \dots \\ \cdot & \cdot & \cdot & \cdot & \cdot \end{bmatrix}$$

$$B_k = Q^{-1}D_kR$$

$$B_k = \begin{bmatrix} \mathbf{2} & 0 & 0 & 0 & \dots \\ 0 & \mathbf{1} & 0 & 0 & \dots \\ 0 & 0 & \mathbf{1} & 0 & \dots \\ 0 & 0 & 0 & 0 & \dots \\ \cdot & \cdot & \cdot & \cdot & \cdot \end{bmatrix}$$

Natychmiastowa algebraizacja:

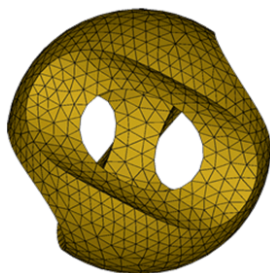
- wygenerować ściany
- skonstruować homomorfizm brzegu
- wyznaczyć diagonalizację Smitha i odczytać liczby Bettiego

Zalety:

- standardowa algebra liniowa
- łatwo adaptować do liczenia generatorów homologii

Problemy:

- natychmiastowe generowanie ścian
zwiększa rozmiar danych



Natychmiastowa algebraizacja:

- wygenerować ściany
- skonstruować homomorfizm brzegu
- wyznaczyć diagonalizację Smitha i odczytać liczby Bettiego

Zalety:

- standardowa algebra liniowa
- łatwo adaptować do liczenia generatorów homologii

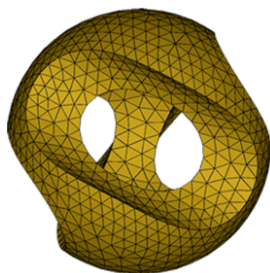
Problemy:

- natychmiastowe generowanie ścian
zwiększa rozmiar danych
- złożoność: Cn^3

$$D_k = \begin{bmatrix} 1 & -1 & 0 & 0 & \dots \\ 1 & 0 & 1 & 0 & \dots \\ -1 & 1 & 0 & 0 & \dots \\ 0 & 1 & 0 & 0 & \dots \\ \cdot & \cdot & \cdot & \cdot & \cdot \end{bmatrix}$$

$$B_k = Q^{-1}D_kR$$

$$B_k = \begin{bmatrix} \mathbf{2} & 0 & 0 & 0 & \dots \\ 0 & \mathbf{1} & 0 & 0 & \dots \\ 0 & 0 & \mathbf{1} & 0 & \dots \\ 0 & 0 & 0 & 0 & \dots \\ \cdot & \cdot & \cdot & \cdot & \cdot \end{bmatrix}$$



Natychmiastowa algebraizacja:

- wygenerować ściany
- skonstruować homomorfizm brzegu
- wyznaczyć diagonalizację Smitha i odczytać liczby Bettiego

Zalety:

- standardowa algebra liniowa
- łatwo adaptować do liczenia generatorów homologii

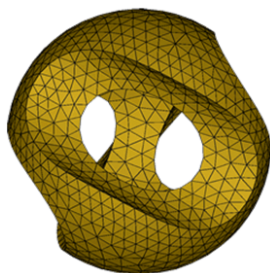
Problemy:

- natychmiastowe generowanie ścian zwiększa rozmiar danych
- złożoność: Cn^3
- rzadkość macierzy nie pomaga (fill-in)

$$D_k = \begin{bmatrix} 1 & -1 & 0 & 0 & \dots \\ 1 & 0 & 1 & 0 & \dots \\ -1 & 1 & 0 & 0 & \dots \\ 0 & 1 & 0 & 0 & \dots \\ \cdot & \cdot & \cdot & \cdot & \cdot \end{bmatrix}$$

$$B_k = Q^{-1}D_kR$$

$$B_k = \begin{bmatrix} 2 & 0 & 0 & 0 & \dots \\ 0 & 1 & 0 & 0 & \dots \\ 0 & 0 & 1 & 0 & \dots \\ 0 & 0 & 0 & 0 & \dots \\ \cdot & \cdot & \cdot & \cdot & \cdot \end{bmatrix}$$



$$D_k = \begin{bmatrix} 1 & -1 & 0 & 0 & \dots \\ 1 & 0 & 1 & 0 & \dots \\ -1 & 1 & 0 & 0 & \dots \\ 0 & 1 & 0 & 0 & \dots \\ \cdot & \cdot & \cdot & \cdot & \cdot \end{bmatrix}$$

$$B_k = Q^{-1}D_kR$$

$$B_k = \begin{bmatrix} \mathbf{2} & 0 & 0 & 0 & \dots \\ 0 & \mathbf{1} & 0 & 0 & \dots \\ 0 & 0 & \mathbf{1} & 0 & \dots \\ 0 & 0 & 0 & 0 & \dots \\ \cdot & \cdot & \cdot & \cdot & \cdot \end{bmatrix}$$

Natychmiastowa algebraizacja:

- wygenerować ściany
- skonstruować homomorfizm brzegu
- wyznaczyć diagonalizację Smitha i odczytać liczby Bettiego

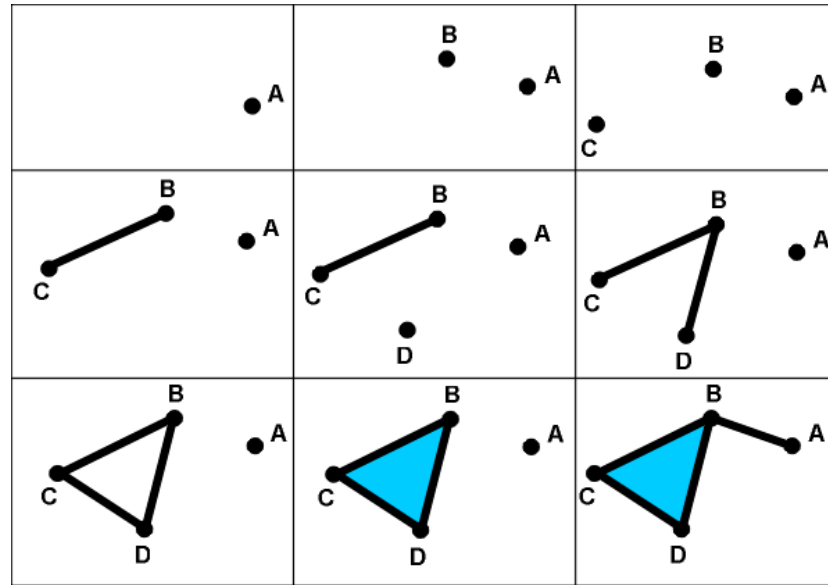
Zalety:

- standardowa algebra liniowa
- łatwo adaptować do liczenia generatorów homologii

Problemy:

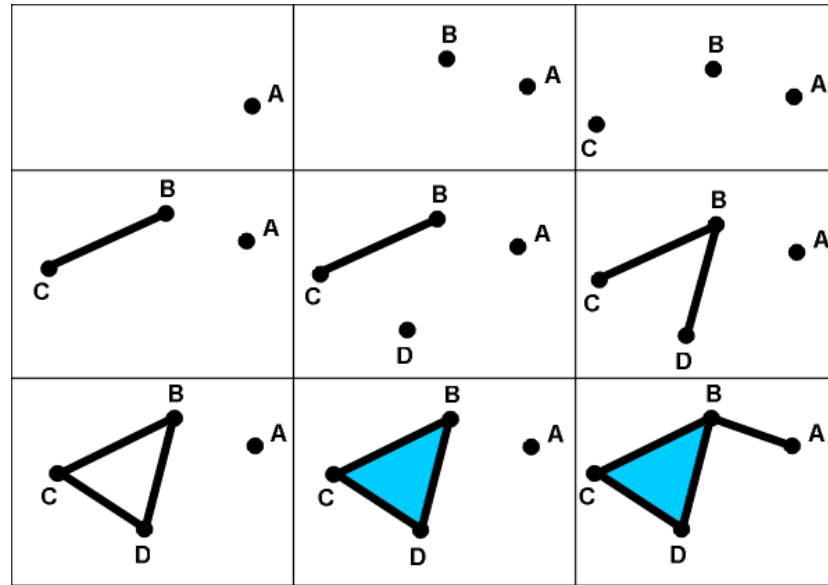
- natychmiastowe generowanie ścian zwiększa rozmiar danych
- złożoność: Cn^3
- rzadkość macierzy nie pomaga (fill-in)
- C duże dla rzadkich macierzy (dynamic storage allocation)

Algorytm Delfinado-Edelsbrunnera (1995) ⁴⁴



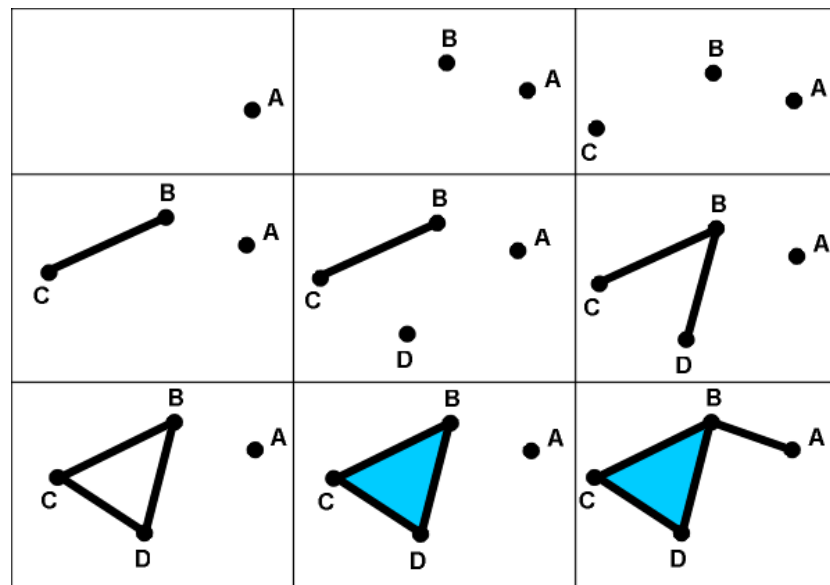
- filtr $\{\sigma_1, \sigma_2, \dots, \sigma_n\}$ triangulacji S^3 na wejściu

Algorytm Delfinado-Edelsbrunnera (1995) ⁴⁴



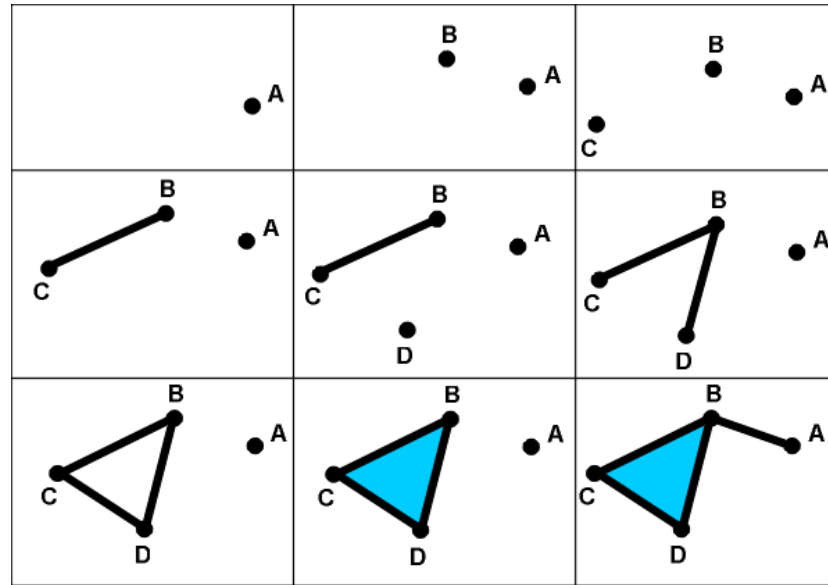
- filtr $\{\sigma_1, \sigma_2, \dots, \sigma_n\}$ triangulacji S^3 na wejściu
- oblicza liczby Bettiego $\beta_0, \beta_1, \beta_2, \beta_3$ podwielościannów S^3

Algorytm Delfinado-Edelsbrunnera (1995) ⁴⁴



- filtr $\{\sigma_1, \sigma_2, \dots, \sigma_n\}$ triangulacji S^3 na wejściu
- oblicza liczby Bettiego $\beta_0, \beta_1, \beta_2, \beta_3$ podwielościannów S^3
- złożoność: $Cn\alpha(n)$

Algorytm Delfinado-Edelsbrunnera (1995) 44

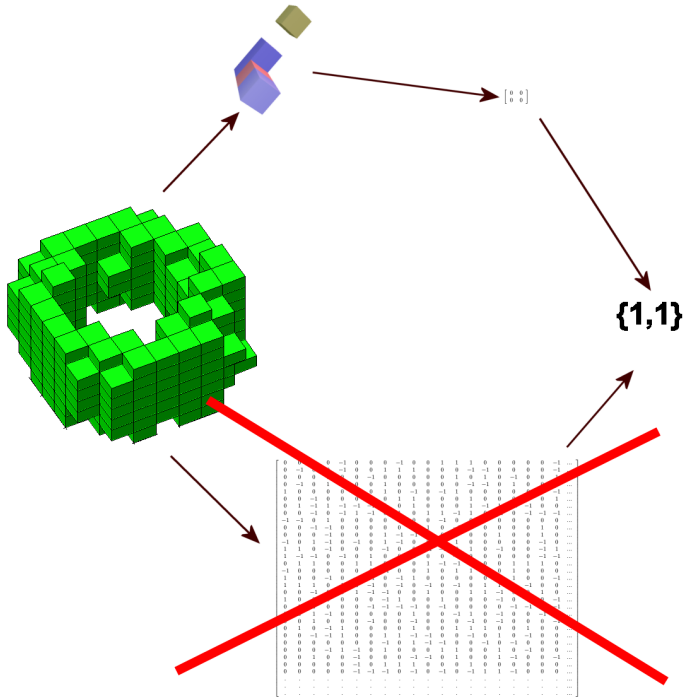


- filtr $\{\sigma_1, \sigma_2, \dots, \sigma_n\}$ triangulacji S^3 na wejściu
- oblicza liczby Bettiego $\beta_0, \beta_1, \beta_2, \beta_3$ podwielościannów S^3
- złożoność: $Cn\alpha(n)$
- zastępuje algebrę kombinatoryką

Algorytmy redukcji⁴⁵

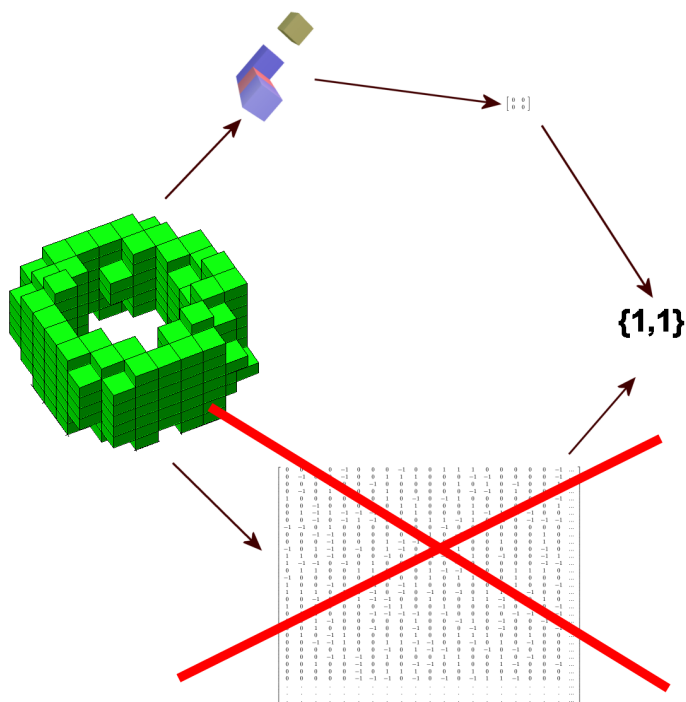
Podjęcie redukcyjne

- Zredukuj zbiór tak, by
 - zachować stosowany sposób reprezentacji



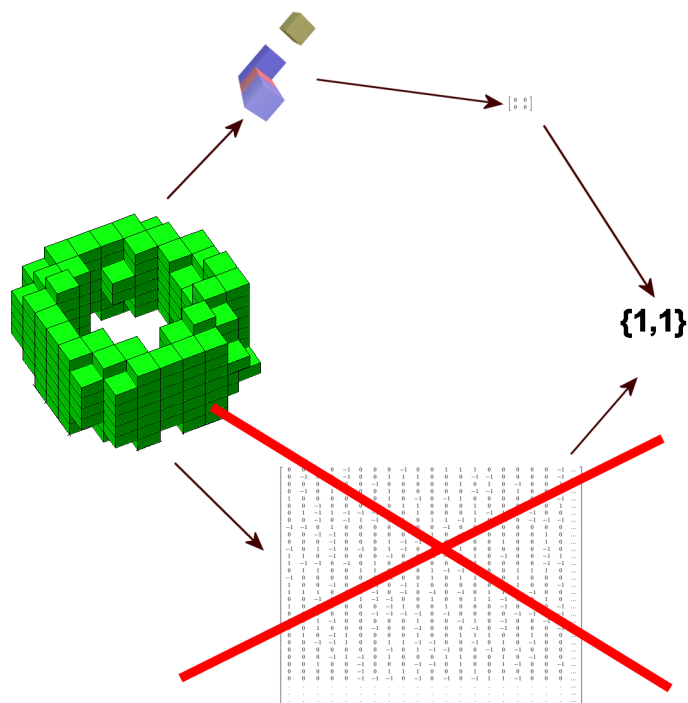
Podójście redukcyjne

- Zredukuj zbiór tak, by
 - zachować stosowany sposób reprezentacji
 - nie zmienić homologii



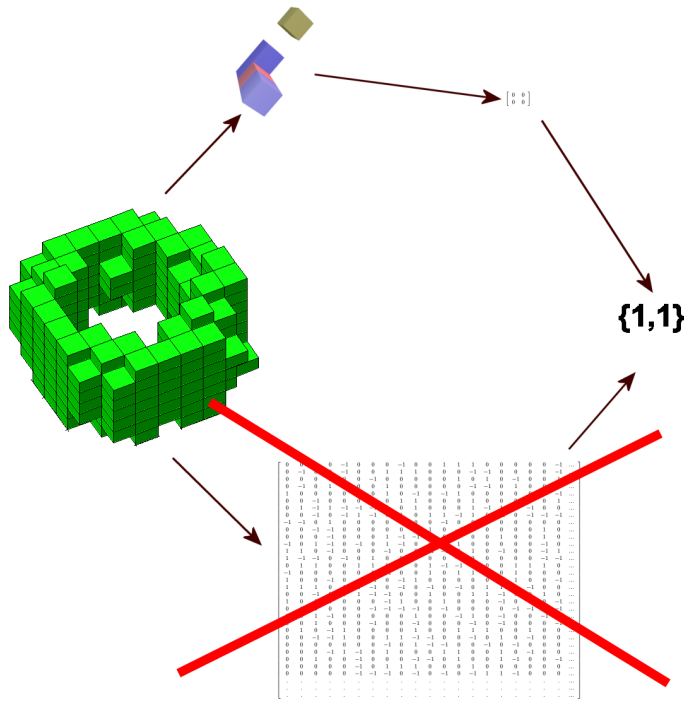
Podójście redukcyjne

- Zredukuj zbiór tak, by
 - zachować stosowany sposób reprezentacji
 - nie zmienić homologii
- zbuduj kompleks łańcuchowy



Podójście redukcyjne

- Zredukuj zbiór tak, by
 - zachować stosowany sposób reprezentacji
 - nie zmienić homologii
- zbuduj kompleks łańcuchowy
- oblicz homologie

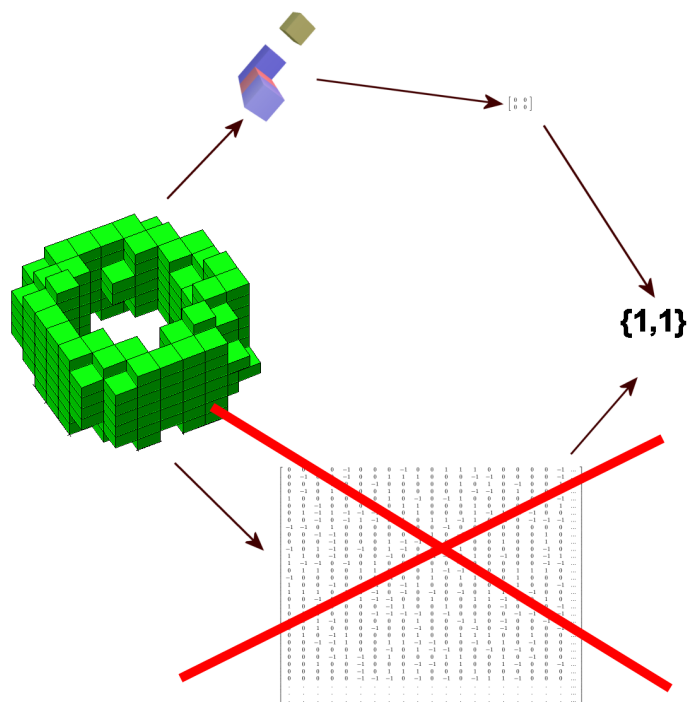


Zalety:

- bardzo efektywna reprezentacja: **bitmapy**

Podójście redukcyjne

- Zredukuj zbiór tak, by
 - zachować stosowany sposób reprezentacji
 - nie zmienić homologii
- zbuduj kompleks łańcuchowy
- oblicz homologie

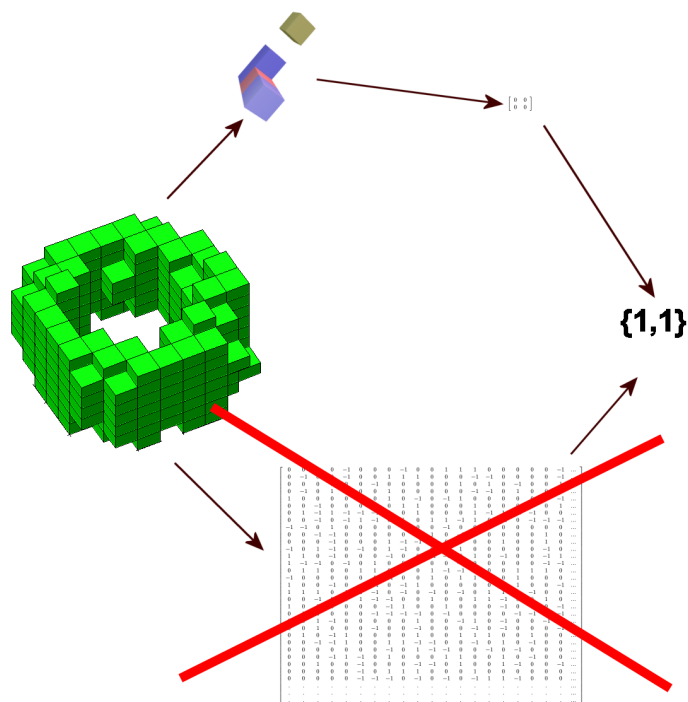


Zalety:

- bardzo efektywna reprezentacja: **bitmapy**
- algebraizacja stosowana do znacznie mniejszego zbioru

Podójście redukcyjne

- Zredukuj zbiór tak, by
 - zachować stosowany sposób reprezentacji
 - nie zmienić homologii
- zbuduj kompleks łańcuchowy
- oblicz homologie

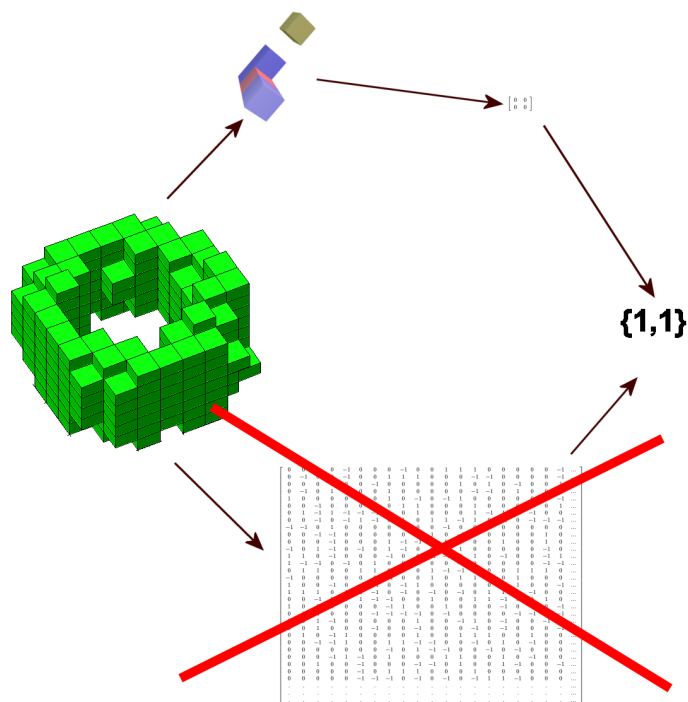


Zalety:

- bardzo efektywna reprezentacja: **bitmapy**
- algebraizacja stosowana do znacznie mniejszego zbioru
- zyski widoczne tylko gdy:
 - złożoność redukcji to Cn z małym C

Podójście redukcyjne

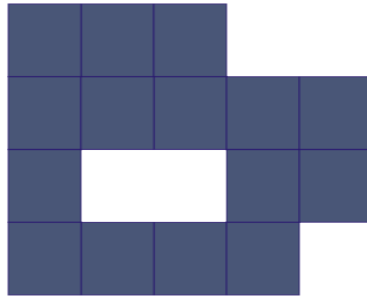
- Zredukuj zbiór tak, by
 - zachować stosowany sposób reprezentacji
 - nie zmienić homologii
- zbuduj kompleks łańcuchowy
- oblicz homologie



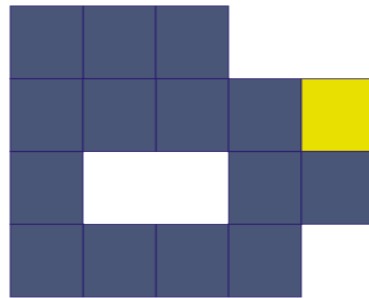
Zalety:

- bardzo efektywna reprezentacja: **bitmapy**
- algebraizacja stosowana do znacznie mniejszego zbioru
- zyski widoczne tylko gdy:
 - złożoność redukcji to Cn z małym C
 - zbiór po redukcji jest znacznie mniejszy

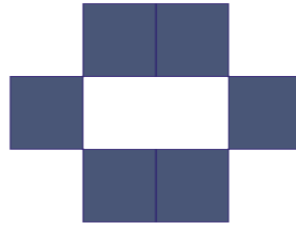
Shaving ₄₆



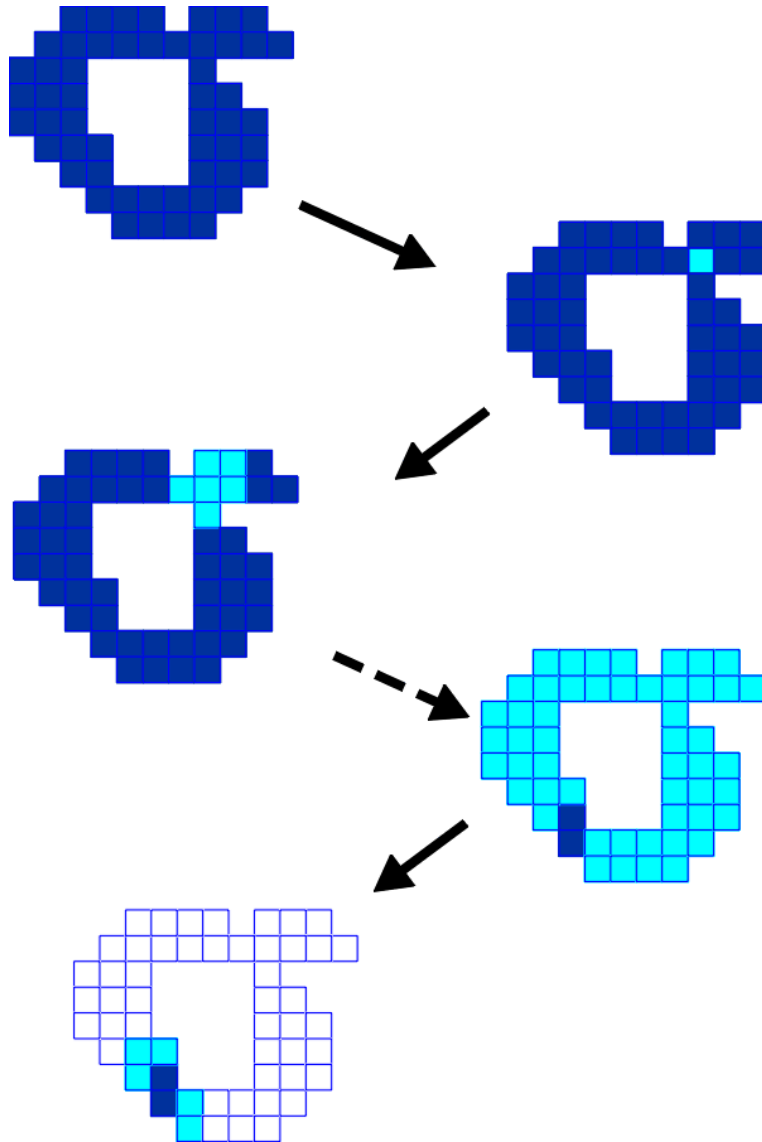
Shaving ₄₇



Shaving ⁴⁸



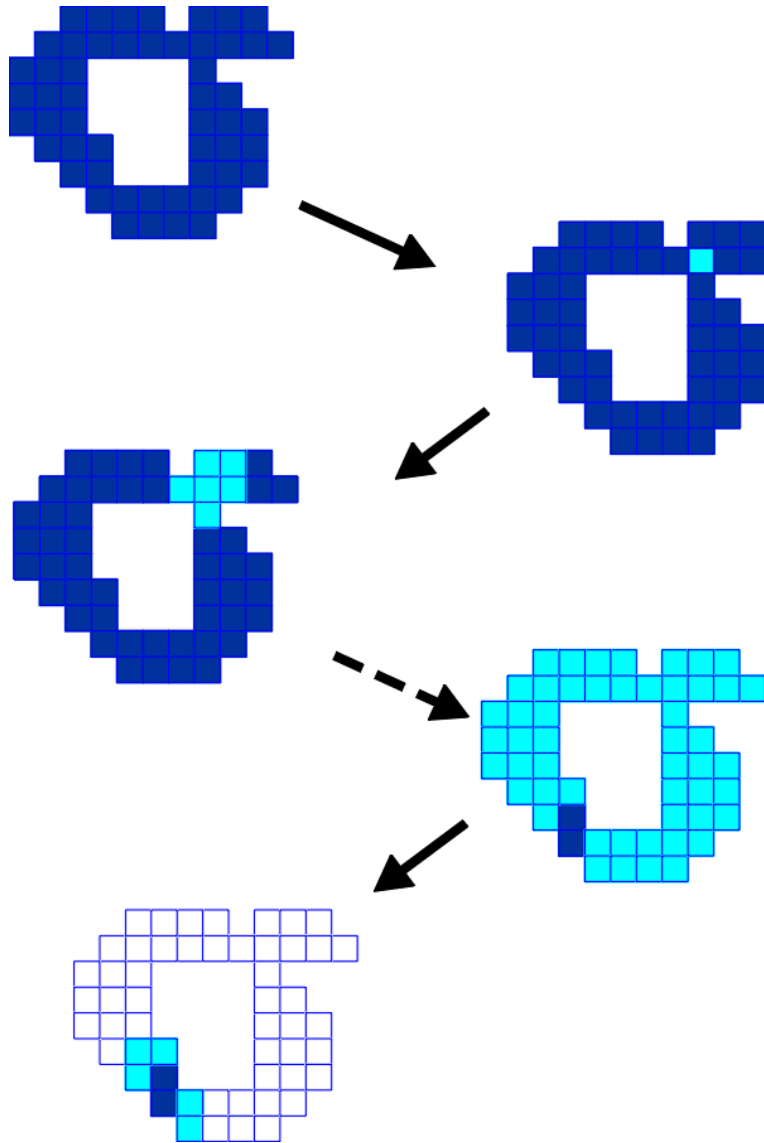
Podprzestrzeń acykliczna ⁴⁹



- Jeżeli X jest kostkowy, a $A \subset X$ jest acykliczny to

$$H_n(X) \cong \begin{cases} H_n(X, A), & \text{for } n \geq 1 \\ \mathbb{Z} \oplus H_n(X, A), & \text{for } n = 0 \end{cases}$$

Podprzestrzeń acykliczna ⁴⁹

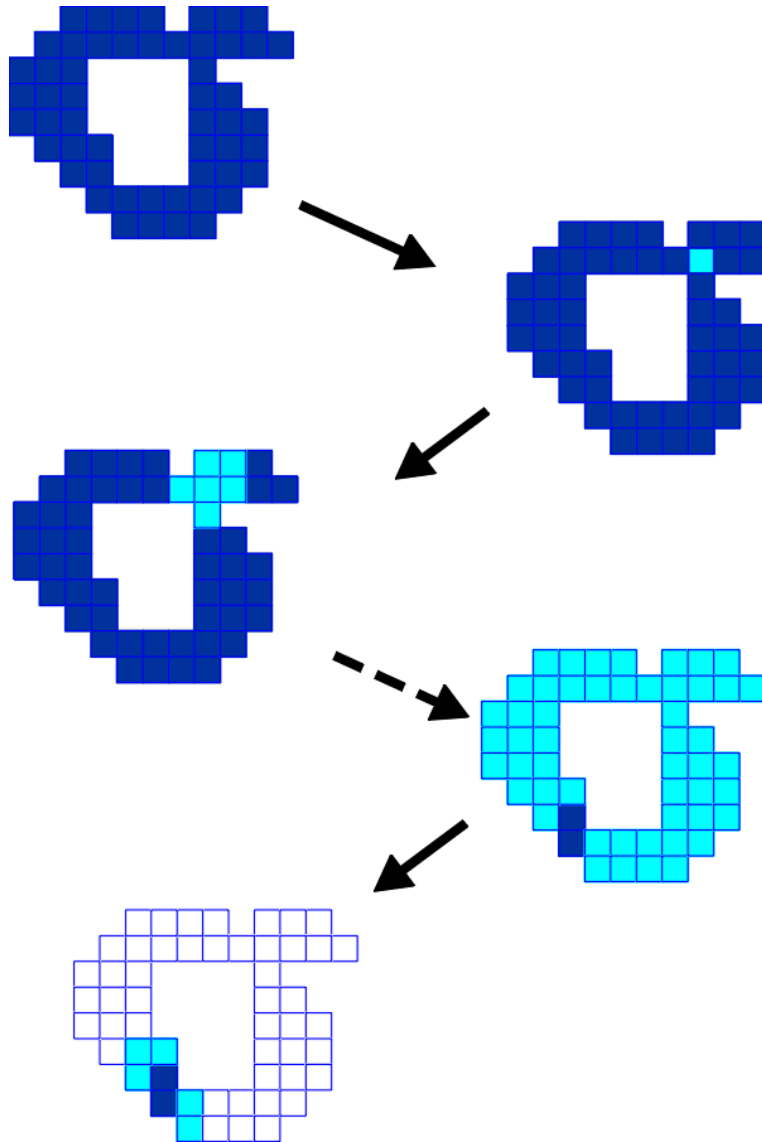


- Jeżeli X jest kostkowy, a $A \subset X$ jest acykliczny to

$$H_n(X) \cong \begin{cases} H_n(X, A), & \text{for } n \geq 1 \\ \mathbb{Z} \oplus H_n(X, A), & \text{for } n = 0 \end{cases}$$

- konstrukcja BFS

Podprzestrzeń acykliczna ⁴⁹

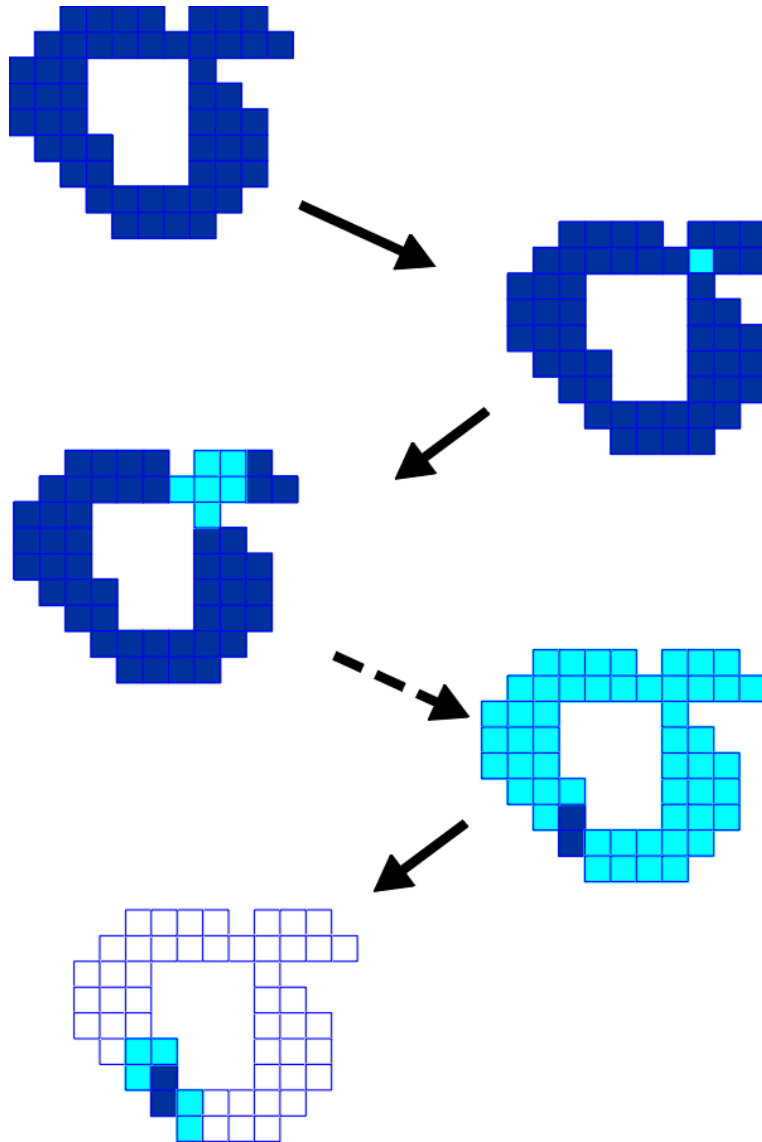


- Jeżeli X jest kostkowy, a $A \subset X$ jest acykliczny to

$$H_n(X) \cong \begin{cases} H_n(X, A), & \text{for } n \geq 1 \\ \mathbb{Z} \oplus H_n(X, A), & \text{for } n = 0 \end{cases}$$

- konstrukcja BFS
- używana reprezentacja oparta o **pełne kostki!**

Podprzestrzeń acykliczna ⁴⁹

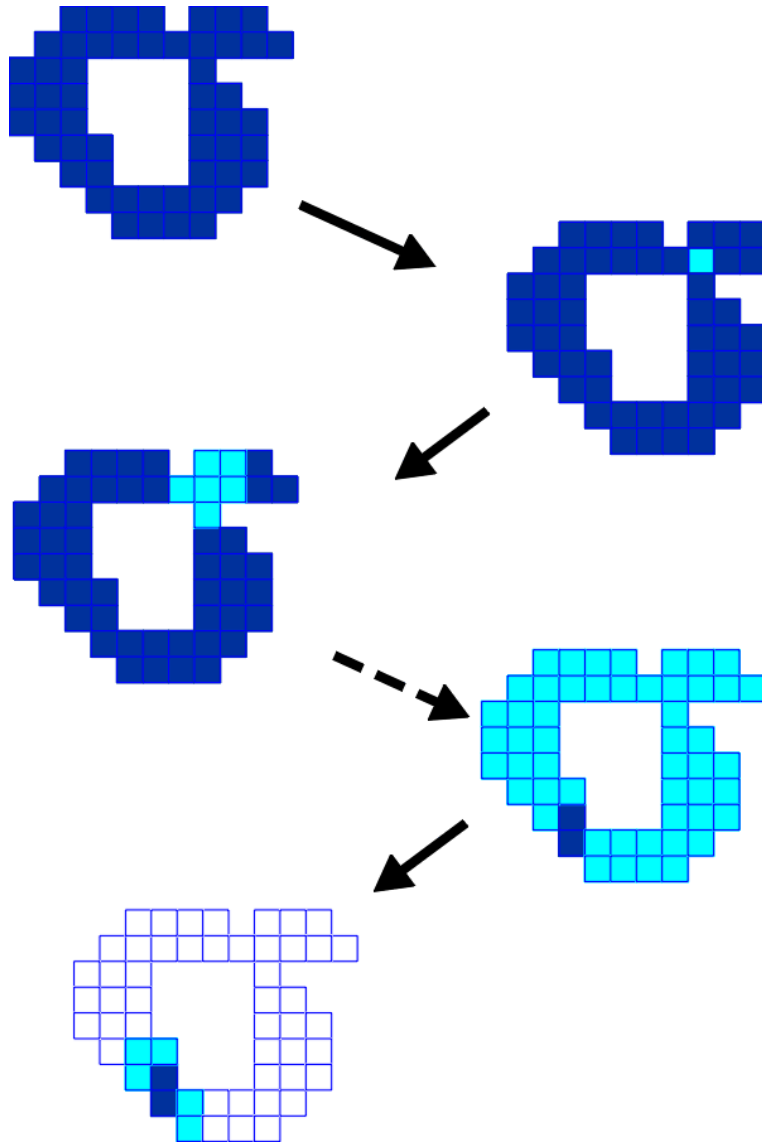


- Jeżeli X jest kostkowy, a $A \subset X$ jest acykliczny to

$$H_n(X) \cong \begin{cases} H_n(X, A), & \text{for } n \geq 1 \\ \mathbb{Z} \oplus H_n(X, A), & \text{for } n = 0 \end{cases}$$

- konstrukcja BFS
- używana reprezentacja oparta o **pełne kostki!**
- test acykliczności poprzez "lo-okup tables":
 - tablica o 2^{3^d-1} elementach

Podprzestrzeń acykliczna ⁴⁹

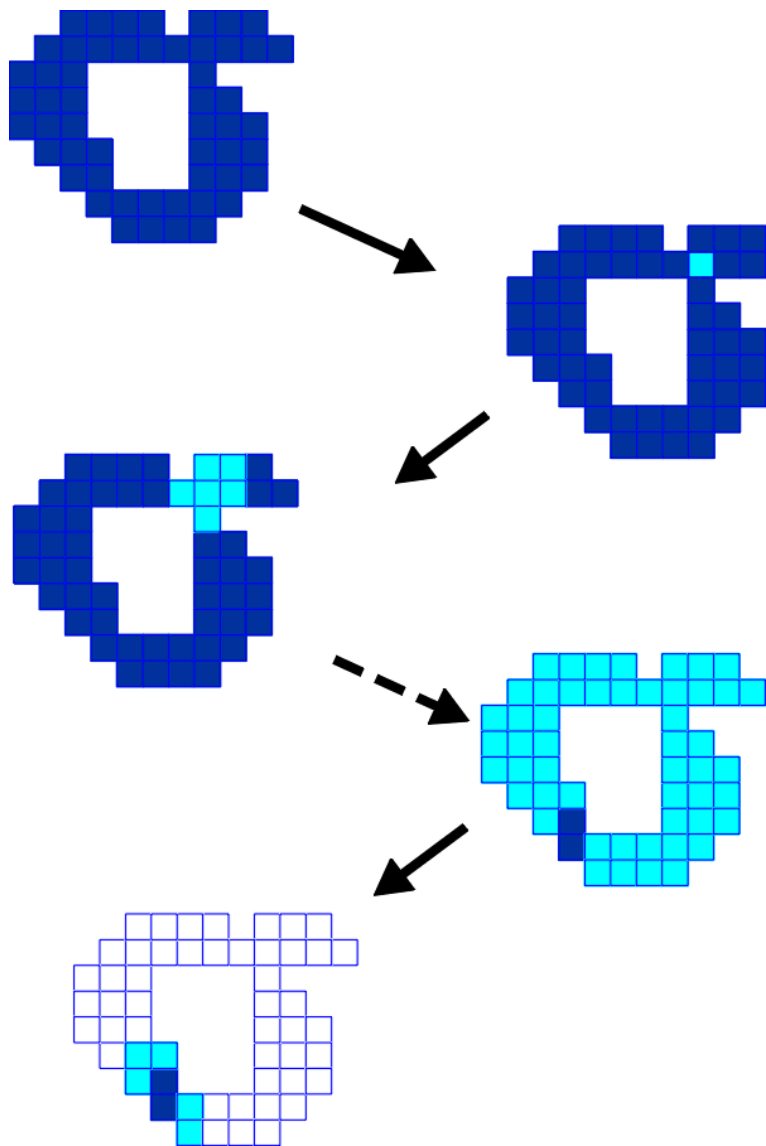


- Jeżeli X jest kostkowy, a $A \subset X$ jest acykliczny to

$$H_n(X) \cong \begin{cases} H_n(X, A), & \text{for } n \geq 1 \\ \mathbb{Z} \oplus H_n(X, A), & \text{for } n = 0 \end{cases}$$

- konstrukcja BFS
- używana reprezentacja oparta o **pełne kostki!**
- test acykliczności poprzez "lo-okup tables":
 - tablica o 2^{3^d-1} elementach
 - **ekstremalnie szybkie** rozwiązanie w wymiarze 2 i 3

Podprzestrzeń acykliczna ⁴⁹

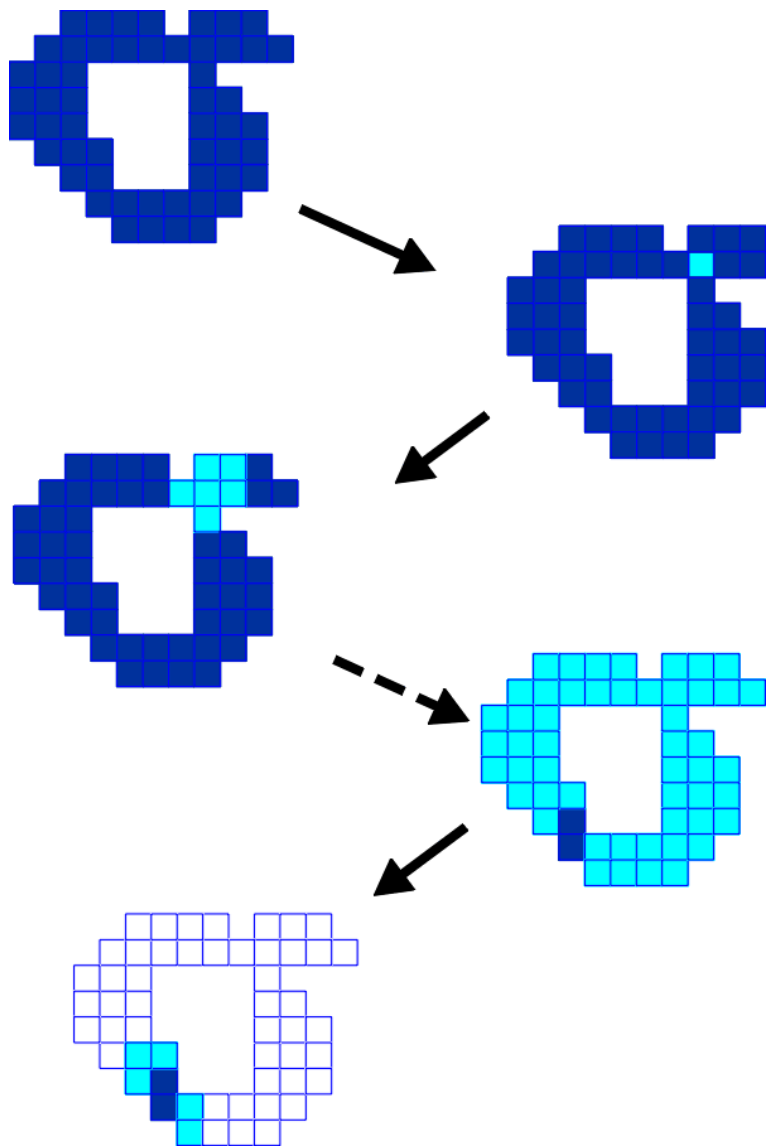


- Jeżeli X jest kostkowy, a $A \subset X$ jest acykliczny to

$$H_n(X) \cong \begin{cases} H_n(X, A), & \text{for } n \geq 1 \\ \mathbb{Z} \oplus H_n(X, A), & \text{for } n = 0 \end{cases}$$

- konstrukcja BFS
- używana reprezentacja oparta o **pełne kostki!**
- test acykliczności poprzez "lo-
okup tables":
 - tablica o 2^{3^d-1} elementach
 - **ekstremalnie szybkie** rozwiązanie w wymiarze 2 i 3
 - brak wystarczającej pamięci dla wymiarów większych niż 3

Podprzestrzeń acykliczna ⁴⁹



- Jeżeli X jest kostkowy, a $A \subset X$ jest acykliczny to

$$H_n(X) \cong \begin{cases} H_n(X, A), & \text{for } n \geq 1 \\ \mathbb{Z} \oplus H_n(X, A), & \text{for } n = 0 \end{cases}$$

- konstrukcja BFS
- używana reprezentacja oparta o **pełne kostki!**
- test acykliczności poprzez "lo-
okup tables":
 - tablica o 2^{3^d-1} elementach
 - **ekstremalnie szybkie** rozwiązanie w wymiarze 2 i 3
 - brak wystarczającej pamięci dla wymiarów większych niż 3
- w wyższych wymiarach czę-
ściowe testy acykliczności

Redukcje dualne? ⁵¹

1	1	0	1	1	0	1	0	...
1	1	1	0	0	1	0	0	...
0	1	0	0	0	0	0	0	...
0	1	0	0	1	0	0	0	...
0	0	1	0	0	0	0	0	...
0	0	1	0	0	0	1	0	...
0	0	0	1	0	0	0	1	...
0	0	0	1	0	0	0	0	...
0	0	0	0	1	0	0	0	...
0	0	0	0	1	0	0	0	...
.
.
.

- **wolna kościana** - ściana posiadająca dokładnie jedną ścianę w brzegu

Redukcje dualne? ⁵¹

$$\begin{bmatrix} \mathbf{1} & \mathbf{1} & 0 & \mathbf{1} & \mathbf{1} & 0 & \mathbf{1} & 0 & \dots \\ \mathbf{1} & \mathbf{1} & \mathbf{1} & 0 & 0 & \mathbf{1} & 0 & 0 & \dots \\ 0 & \mathbf{1} & 0 & 0 & 0 & 0 & 0 & 0 & \dots \\ 0 & \mathbf{1} & 0 & 0 & \mathbf{1} & 0 & 0 & 0 & \dots \\ 0 & 0 & \mathbf{1} & 0 & 0 & 0 & 0 & 0 & \dots \\ 0 & 0 & \mathbf{1} & 0 & 0 & 0 & \mathbf{1} & 0 & \dots \\ 0 & 0 & 0 & \mathbf{1} & 0 & 0 & 0 & \mathbf{1} & \dots \\ 0 & 0 & 0 & \mathbf{1} & 0 & 0 & 0 & 0 & \dots \\ 0 & 0 & 0 & 0 & \mathbf{1} & 0 & 0 & 0 & \dots \\ 0 & 0 & 0 & 0 & \mathbf{1} & 0 & 0 & 0 & \dots \\ \cdot & \cdot & \cdot & \cdot & \cdot & \cdot & \cdot & \cdot & \dots \\ \cdot & \cdot & \cdot & \cdot & \cdot & \cdot & \cdot & \cdot & \dots \\ \cdot & \cdot & \cdot & \cdot & \cdot & \cdot & \cdot & \cdot & \dots \end{bmatrix}$$

- **wolna kościana** - ściana posiadająca dokładnie jedną ścianę w brzegu
- teoria homologii jednej przestrzeni dla zbiorów lokalnie zwartych (Steenrod 1940, Massey 1978)

Redukcje dualne? ⁵¹

$$\begin{bmatrix} \mathbf{1} & \mathbf{1} & 0 & \mathbf{1} & \mathbf{1} & 0 & \mathbf{1} & 0 & \dots \\ \mathbf{1} & \mathbf{1} & \mathbf{1} & 0 & 0 & \mathbf{1} & 0 & 0 & \dots \\ 0 & \mathbf{1} & 0 & 0 & 0 & 0 & 0 & 0 & \dots \\ 0 & \mathbf{1} & 0 & 0 & \mathbf{1} & 0 & 0 & 0 & \dots \\ 0 & 0 & \mathbf{1} & 0 & 0 & 0 & 0 & 0 & \dots \\ 0 & 0 & \mathbf{1} & 0 & 0 & 0 & \mathbf{1} & 0 & \dots \\ 0 & 0 & 0 & \mathbf{1} & 0 & 0 & 0 & \mathbf{1} & \dots \\ 0 & 0 & 0 & \mathbf{1} & 0 & 0 & 0 & 0 & \dots \\ 0 & 0 & 0 & 0 & \mathbf{1} & 0 & 0 & 0 & \dots \\ 0 & 0 & 0 & 0 & \mathbf{1} & 0 & 0 & 0 & \dots \\ \cdot & \cdot & \cdot & \cdot & \cdot & \cdot & \cdot & \cdot & \dots \\ \cdot & \cdot & \cdot & \cdot & \cdot & \cdot & \cdot & \cdot & \dots \\ \cdot & \cdot & \cdot & \cdot & \cdot & \cdot & \cdot & \cdot & \dots \end{bmatrix}$$

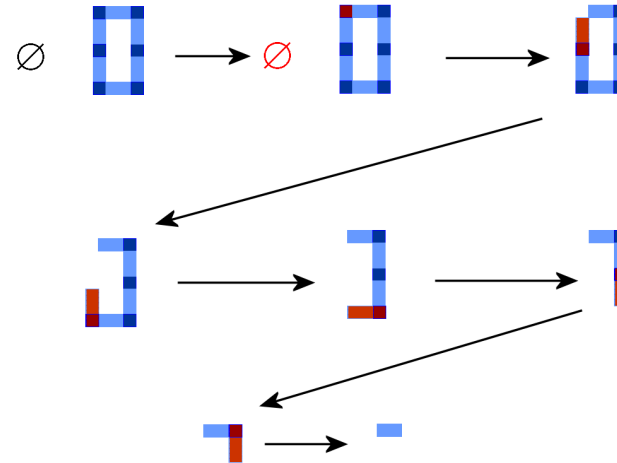
- **wolna kościana** - ściana posiadająca dokładnie jedną ścianę w brzegu
- teoria homologii jednej przestrzeni dla zbiorów lokalnie zwartych (Steenrod 1940, Massey 1978)
- podejście kombinatoryczne (MM, B. Batko, 2006)

Algorytm koredukcji ⁵²

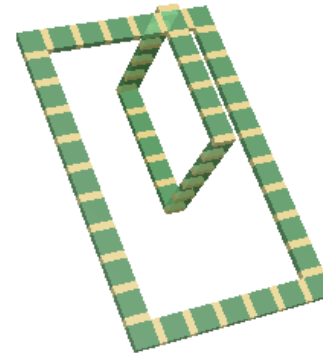
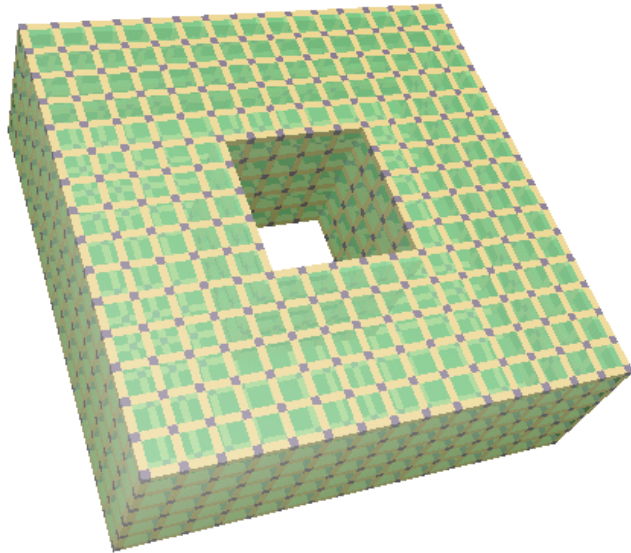
```
 $Q := \text{empty queue};$   
 $\text{enqueue}(Q, s);$   
while  $Q \neq \emptyset$  do  
   $s := \text{dequeue}(Q);$   
  if  $\text{bd}_S s = \{t\}$  then  
     $\text{remove}(s);$   
     $\text{remove}(t);$   
     $\text{enqueue}(Q, \text{cbd}_K t);$   
  else if  $\text{bd}_S s = \emptyset$  then  
     $\text{enqueue}(Q, \text{cbd}_K s);$   
  endif;  
endwhile ;
```

Algorytm koredukcji ⁵²

```
Q := empty queue;  
enqueue(Q, s);  
while Q ≠ ∅ do  
  s := dequeue(Q);  
  if bdS s = {t} then  
    remove(s);  
    remove(t);  
    enqueue(Q, cbdK t);  
  else if bdS s = ∅ then  
    enqueue(Q, cbdK s);  
  endif;  
endwhile ;
```



Algorytm koredukcji ⁵³



Generyczny software do liczenia homologii zbiorów oparty o algorytmy redukcji

Generyczny software do liczenia homologii zbiorów oparty o algorytmy redukcji

- algorytmy AS, CR, AKQ

Generyczny software do liczenia homologii zbiorów oparty o algorytmy redukcji

- algorytmy AS, CR, AKQ
- liczby Bettiego i torsyjne, generatory homologii, homologie odwzorowań, przedziały persystencji

Generyczny software do liczenia homologii zbiorów oparty o algorytmy redukcji

- algorytmy AS, CR, AKQ
- liczby Bettiego i torsyjne, generatory homologii, homologie odwzorowań, przedziały persystencji
- współczynniki z \mathbb{Z} i \mathbb{Z}_p

Generyczny software do liczenia homologii zbiorów oparty o algorytmy redukcji

- algorytmy AS, CR, AKQ
- liczby Bettiego i torsyjne, generatory homologii, homologie odwzorowań, przedziały persystencji
- współczynniki z \mathbb{Z} i \mathbb{Z}_p
- generyczna, ale bardzo szybka implementacja: dla zbiorów kostkowych, kompleksów symplecjalnych, CW kompleksów, ...

Generyczny software do liczenia homologii zbiorów oparty o algorytmy redukcji

- algorytmy AS, CR, AKQ
- liczby Bettiego i torsyjne, generatory homologii, homologie odwzorowań, przedziały persystencji
- współczynniki z \mathbb{Z} i \mathbb{Z}_p
- generyczna, ale bardzo szybka implementacja: dla zbiorów kostkowych, kompleksów symplecjalnych, CW kompleksów, ...
- dostępna pod adresem: <http://redhom.ii.uj.edu.pl>

Generyczny software do liczenia homologii zbiorów oparty o algorytmy redukcji

- algorytmy AS, CR, AKQ
- liczby Bettiego i torsyjne, generatory homologii, homologie odwzorowań, przedziały persystencji
- współczynniki z \mathbb{Z} i \mathbb{Z}_p
- generyczna, ale bardzo szybka implementacja: dla zbiorów kostkowych, kompleksów symplecjalnych, CW kompleksów, ...
- dostępna pod adresem: <http://redhom.ii.uj.edu.pl>
- Autorzy: P. Dłotko, M. Juda, A. Krajniak, [MM](#), H. Wagner, ...

Eksperymenty numeryczne ⁵⁵

	$T \times S^1$	$(S^1)^3$	$S^1 \times K$	$T \times T$
dim	5	6	6	6
wielkość w milionach	0.07	0.10	0.40	2.36
H_0	\mathbb{Z}	\mathbb{Z}	\mathbb{Z}	\mathbb{Z}
H_1	\mathbb{Z}^3	0	$\mathbb{Z}^2 + \mathbb{Z}_2$	\mathbb{Z}^4
H_2	\mathbb{Z}^3	0	$\mathbb{Z} + \mathbb{Z}_2$	\mathbb{Z}^6
H_3	\mathbb{Z}	\mathbb{Z}		\mathbb{Z}^4
H_4				\mathbb{Z}
Linbox::Smith	130	350	> 600	> 600
RedHom::Shave+Linbox::Smith	0.5	0.1	2.2	> 600
ChomP	1.3	1.7	10	56
RedHom::CR	0.03	0.04	0.26	2.5
ChomP::DMT	0.06	0.15	1.6	5.9
ChomP::CR+DMT	0.04	0.16	1.7	3
RedHom::CR+DMT	0.02	0.08	0.5	1.1

Eksperymenty numeryczne ⁵⁶

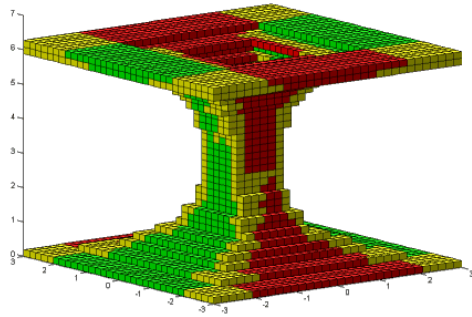
	d4s8f50	d4s12f50	d4s16f50	d4s20f50
dim	4	4	4	4
wielkość w milionach	0.07	0.34	1.04	2.48
H_0	\mathbb{Z}^2	\mathbb{Z}^2	\mathbb{Z}^2	\mathbb{Z}^2
H_1	\mathbb{Z}^2	\mathbb{Z}^{17}	\mathbb{Z}^{30}	\mathbb{Z}^{51}
H_2	\mathbb{Z}^{174}	\mathbb{Z}^{1389}	\mathbb{Z}^{5510}	\mathbb{Z}^{15401}
H_3	\mathbb{Z}^2	\mathbb{Z}^{15}	\mathbb{Z}^{71}	\mathbb{Z}^{179}
Linbox::Smith	120	> 600	> 600	> 600
RedHom::Shave+Linbox::Smith	4	> 600	> 600	> 600
ChomP	1	8.3	41	170
RedHom::CR	0.08	1.4	15	140
ChomP::DMT	0.05	0.38	1.8	5.3
ChomP::CR+DMT	0.03	0.16	0.56	1.4
RedHom::CR+DMT	0.03	0.16	0.58	2.9

Niech X będzie przestrzenią kostkową. Nazwijmy **złożonością kostkową** X liczbę

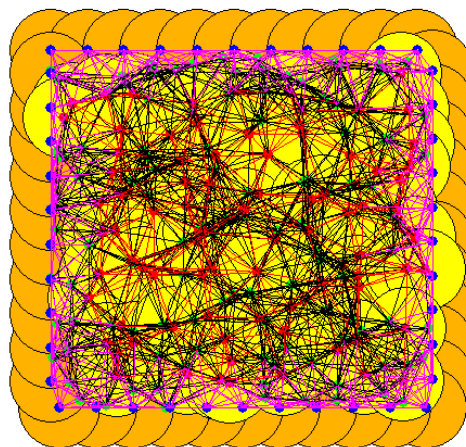
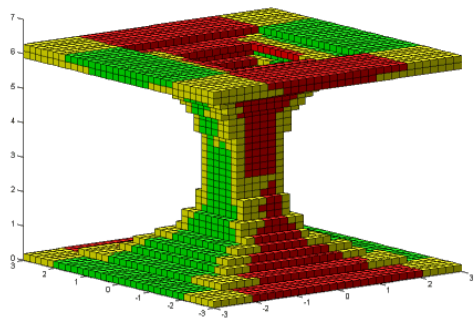
$$z(X) := \min \{ \text{card } \mathcal{X} \mid \mathcal{X} \text{ reprezentacja } X \}.$$

Hipoteza: Złożoność liczenia homologii zbioru kostkowego zależy nieliniowo jedynie od jego złożoności kostkowej, a liniowo od wielkości jego reprezentacji użytej do obliczeń.

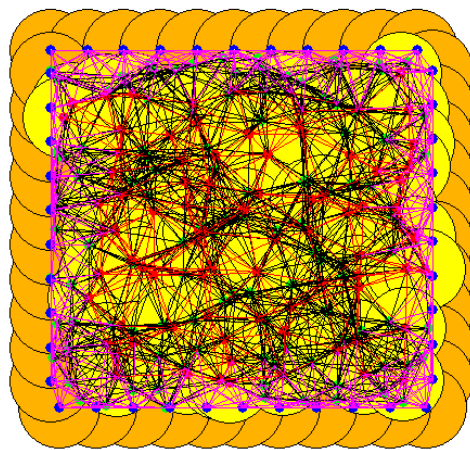
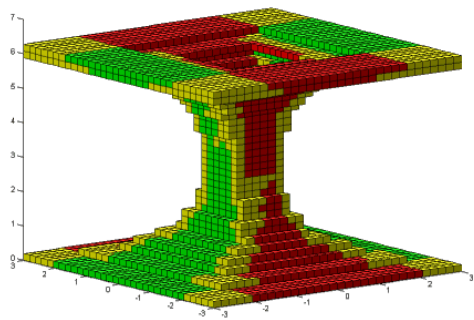
Zastosowania ⁵⁸



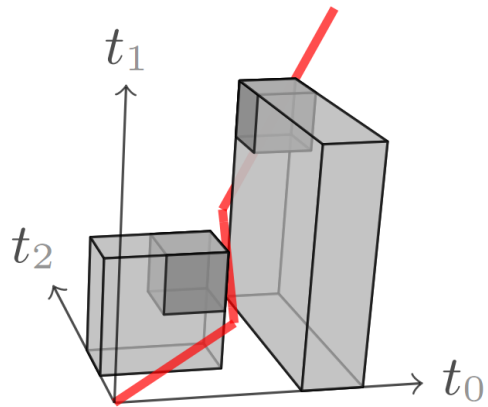
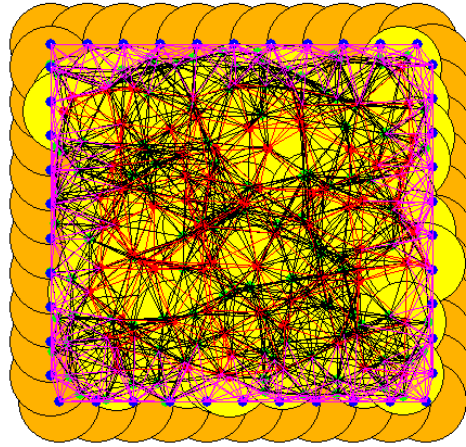
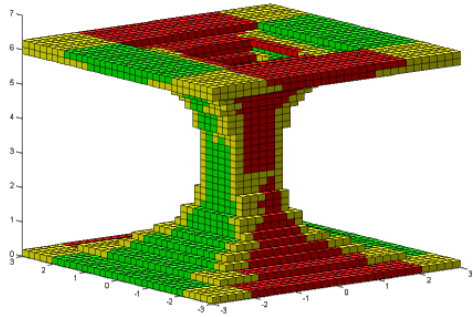
Zastosowania 58



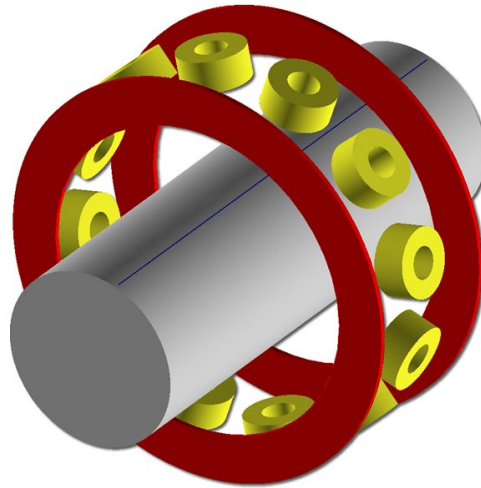
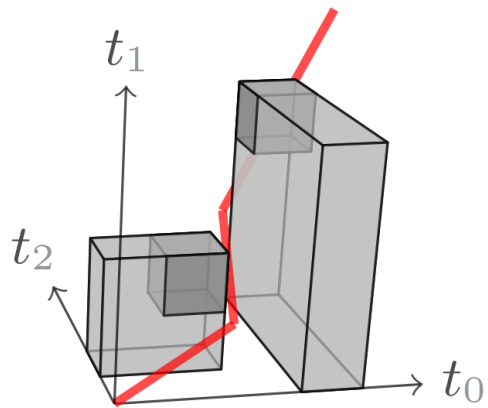
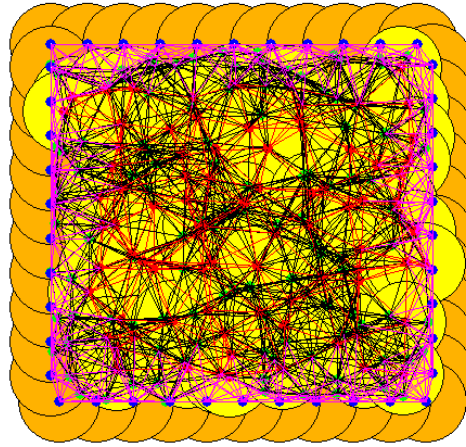
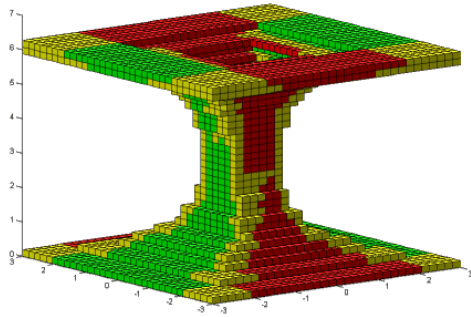
Zastosowania ⁵⁸



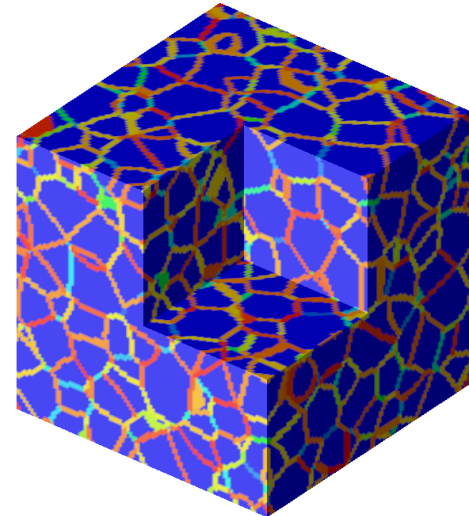
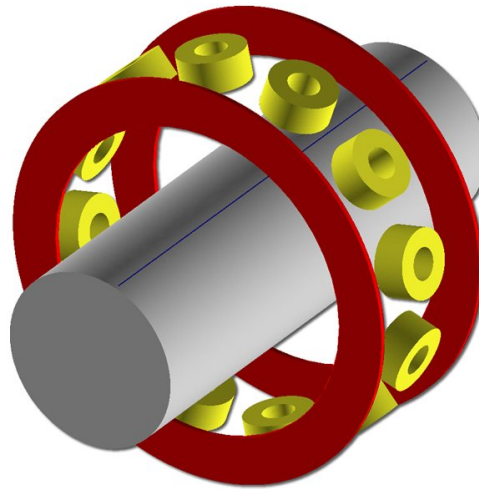
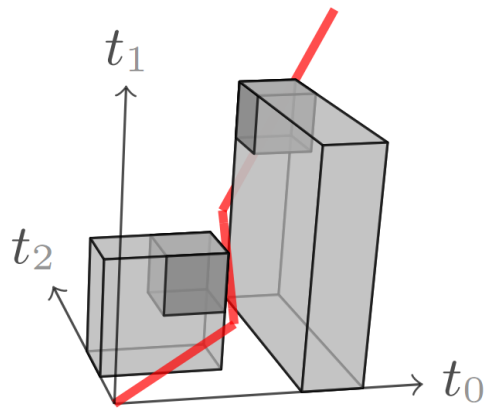
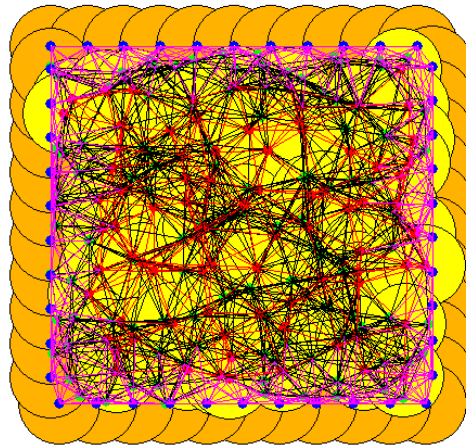
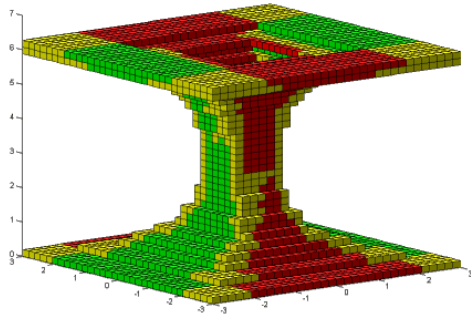
Zastosowania 58



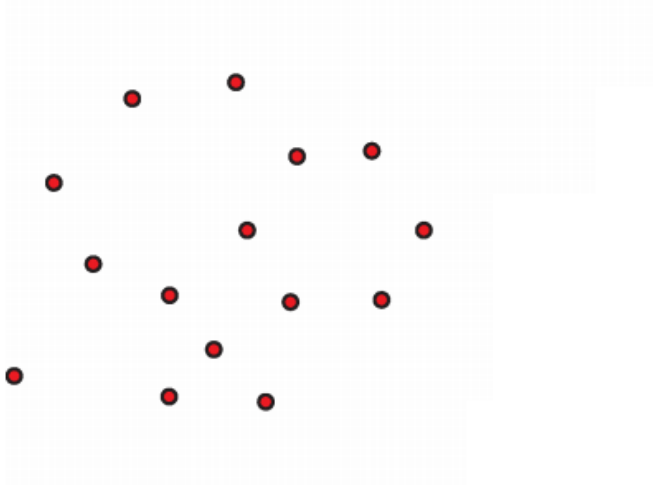
Zastosowania 58



Zastosowania 58

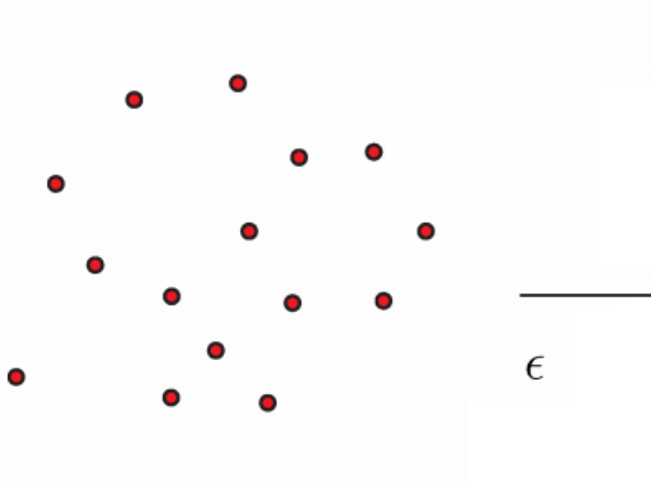


Topologia danych ⁵⁹



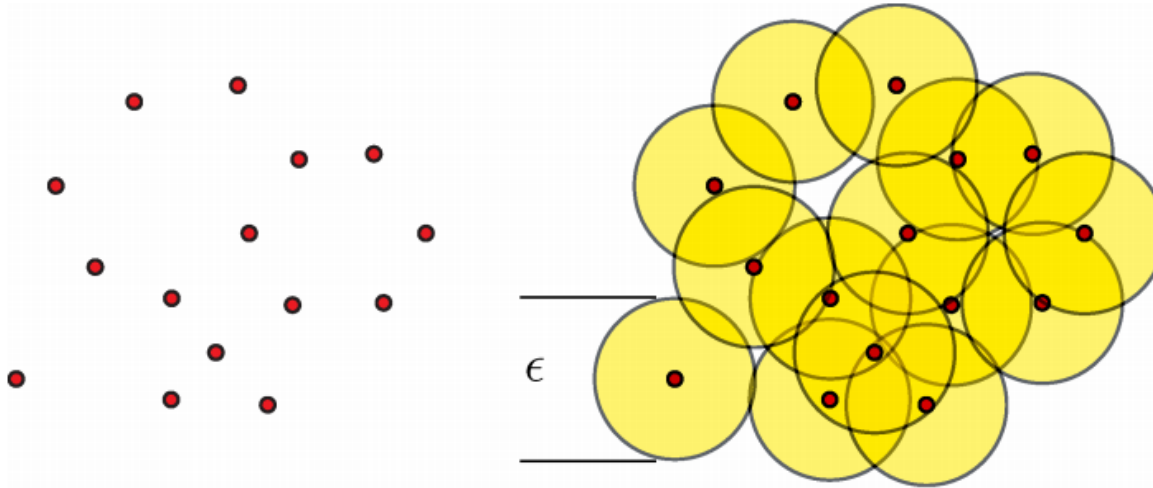
Chmura danych

Topologia danych⁶⁰



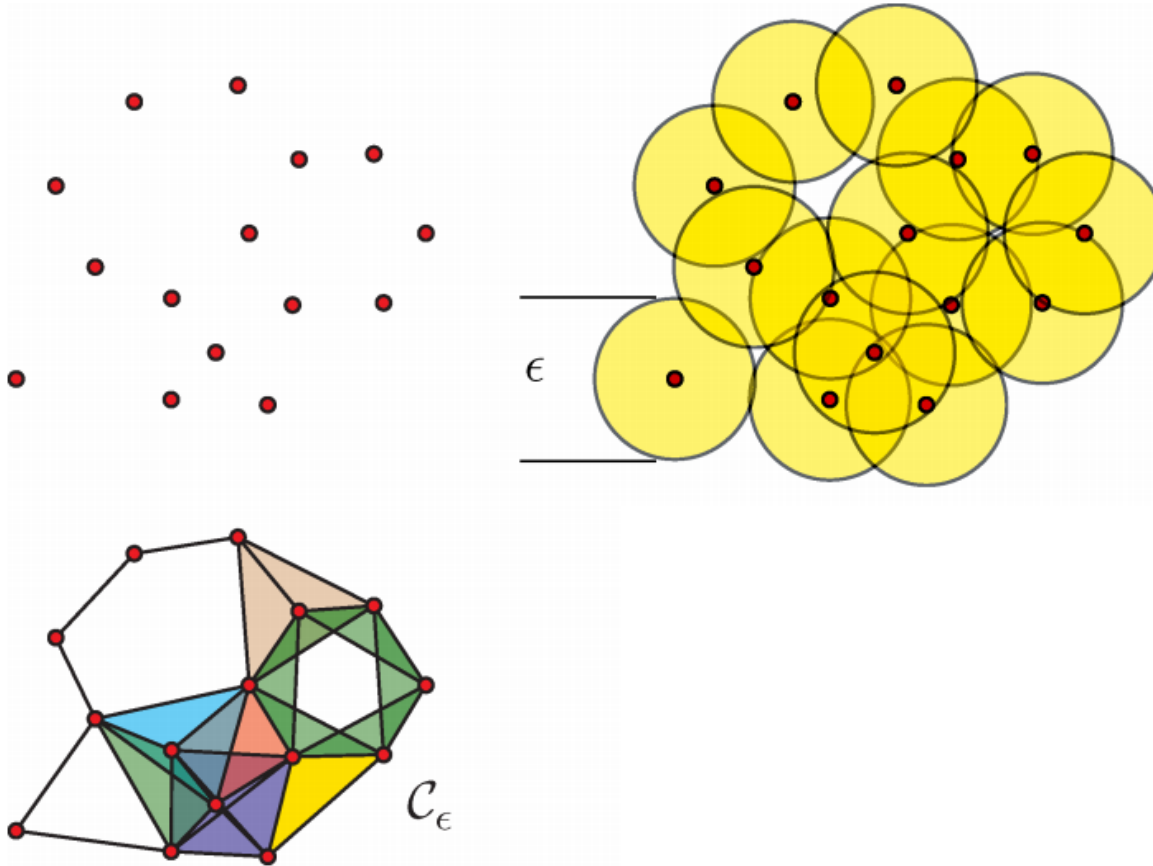
Miarka epsilonowa.

Topologia danych₆₁



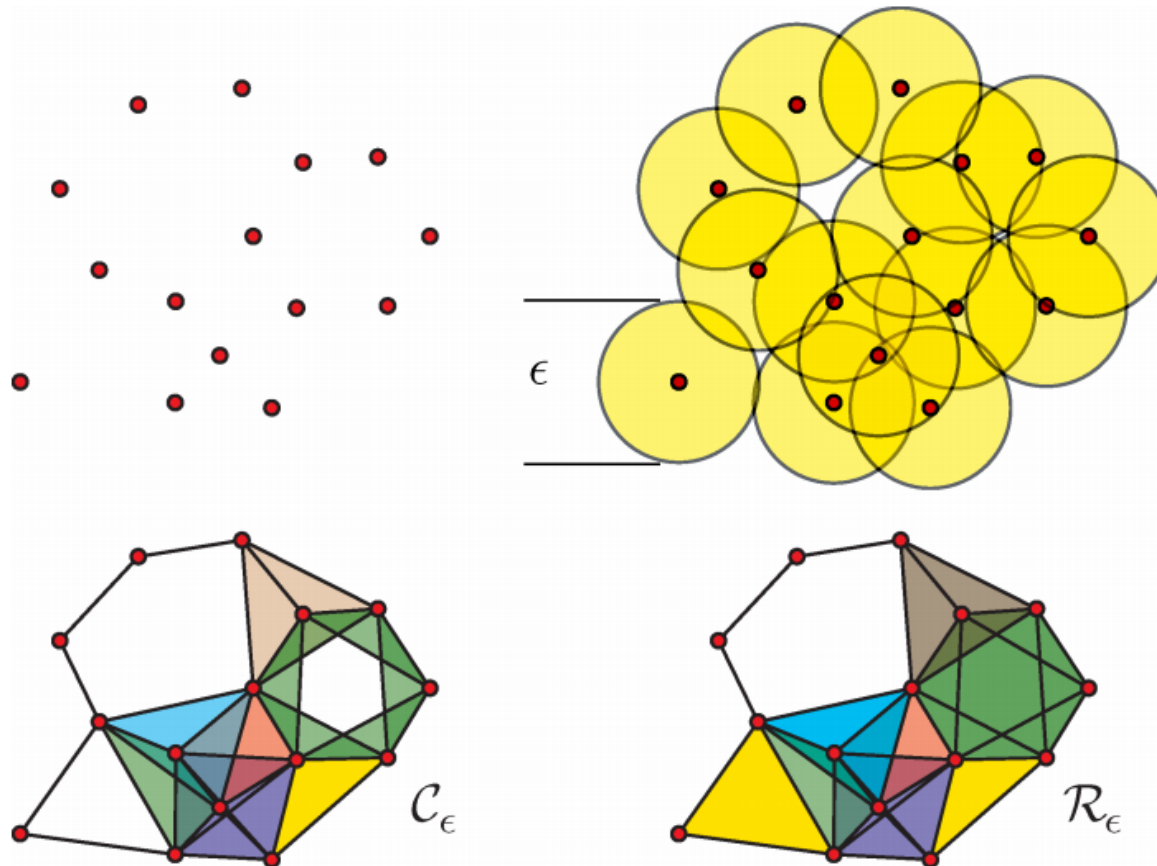
Epsilonowe pokrycie

Topologia danych⁶²



Kompleks Čecha.

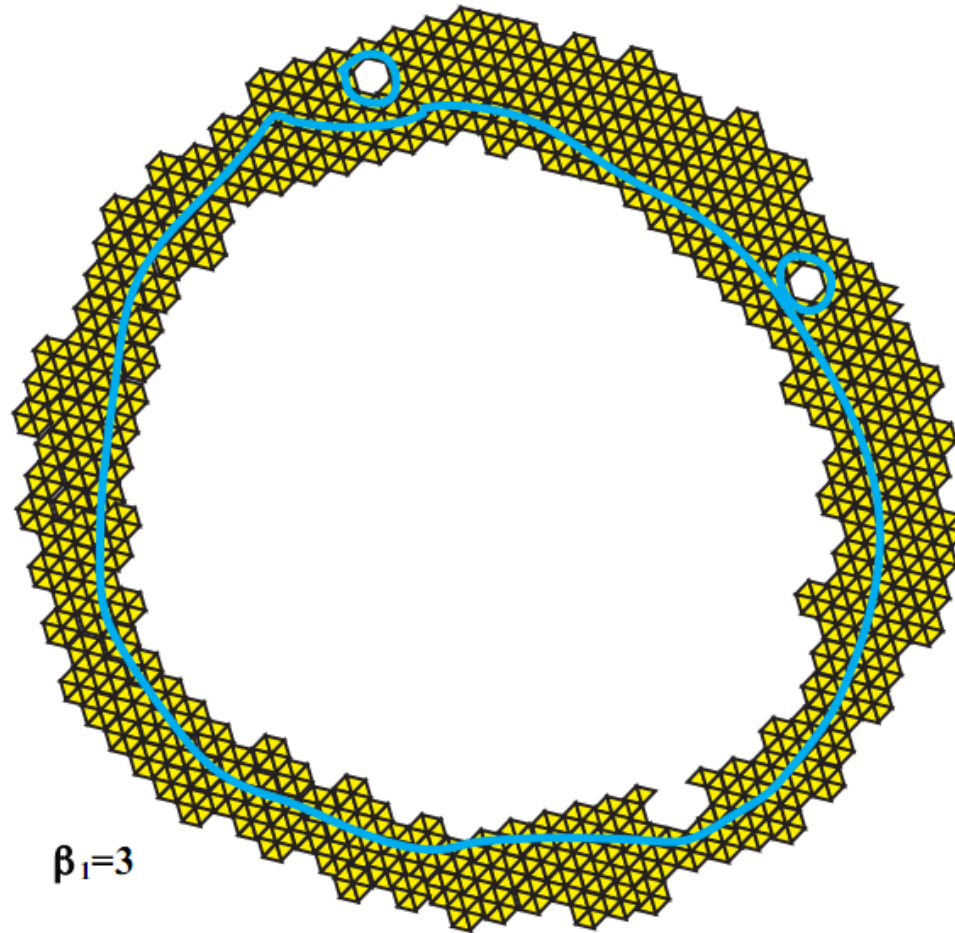
Topologia danych ⁶³



Kompleks Čecha i kompleks Ripsa.

Źródło: R. Ghrist, Barcodes: the persistent topology of data, BAMS 45(2008),61-75

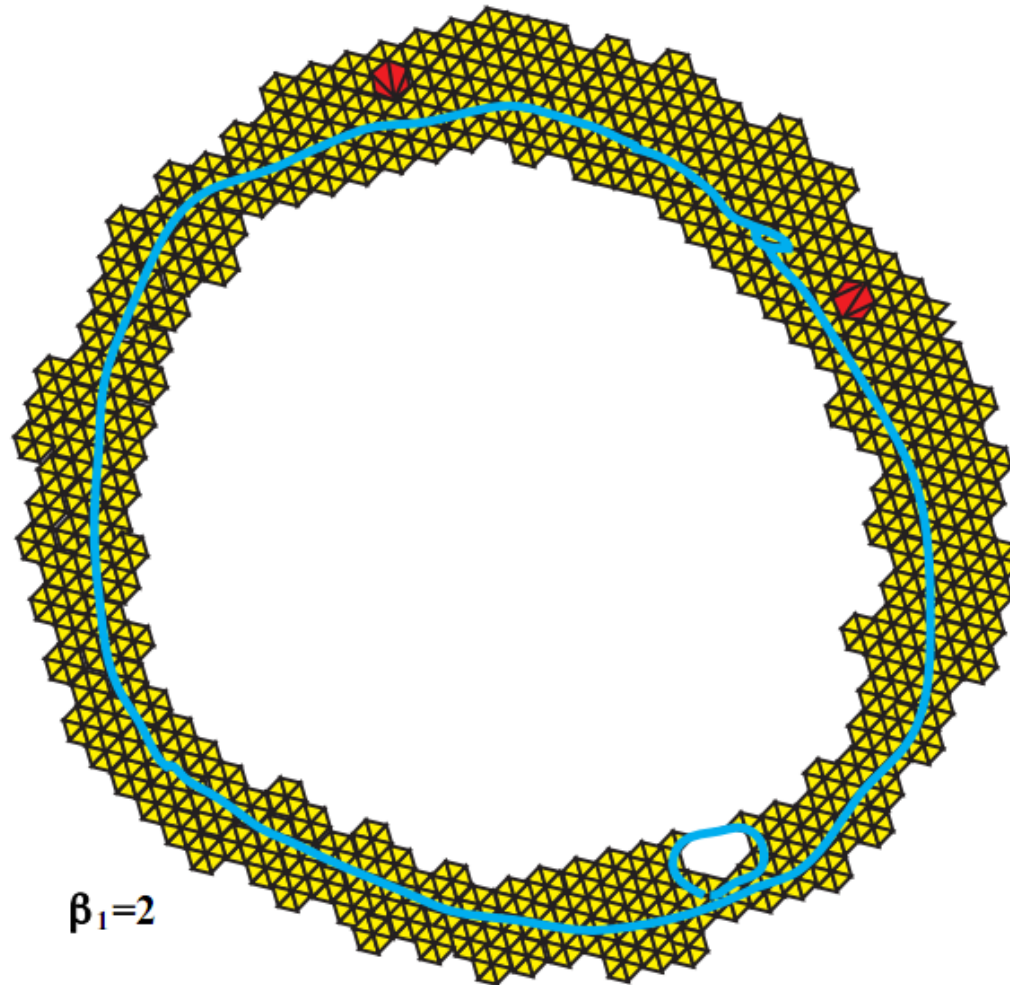
Topologia danych ⁶⁴



$\beta_1=3$

Topologiczny szum.

Topologia danych⁶⁵



Homologie persystentne ⁶⁶

- Niech $X = (X_1, X_2, \dots, X_n)$ będzie filtracją zbiorów kostkowych.
- (i, j) -persystentna q -ta grupa homologii X_i to

$$PH_q^{i,j}(X) := Z_q(X_i) / B_q(X_j) \cap Z_q(X_i)$$

Homologie persystentne ⁶⁶

- Niech $X = (X_1, X_2, \dots, X_n)$ będzie filtracją zbiorów kostkowych.
- (i, j) -persystentna q -ta grupa homologii X_i to

$$PH_q^{i,j}(X) := Z_q(X_i) / B_q(X_j) \cap Z_q(X_i)$$

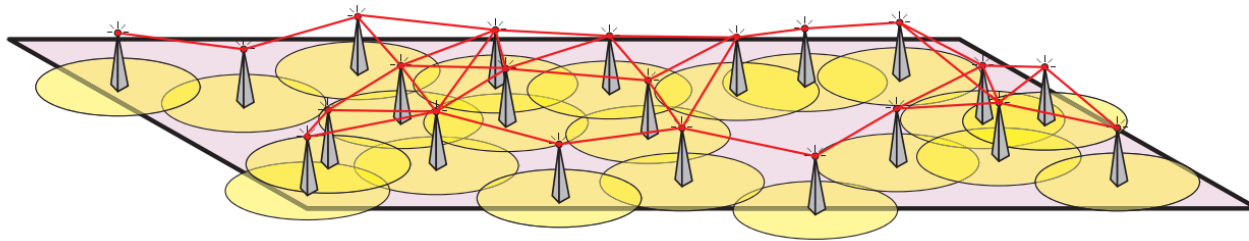
Theorem. (Edelsbrunner, Letscher, Zomorodian, 2002) Let

$$\iota^{i,j} : X_i \rightarrow X_j$$

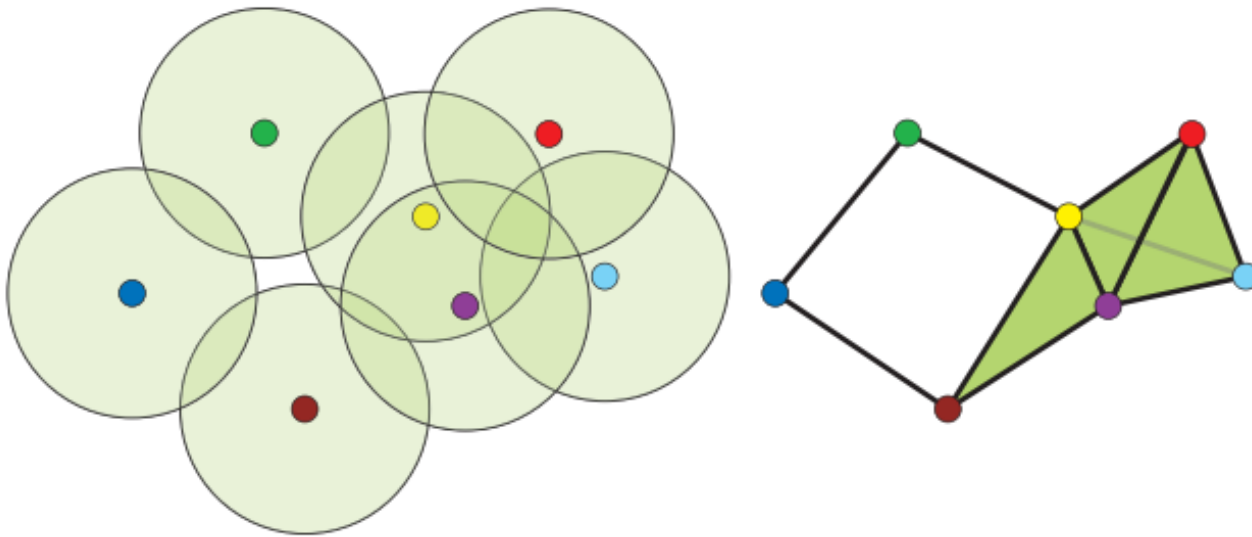
denote the inclusion map. Then

$$PH_q^{i,j}(X) \cong \text{im } H_q(\iota^{i,j}).$$

Sieci sensorowe 67



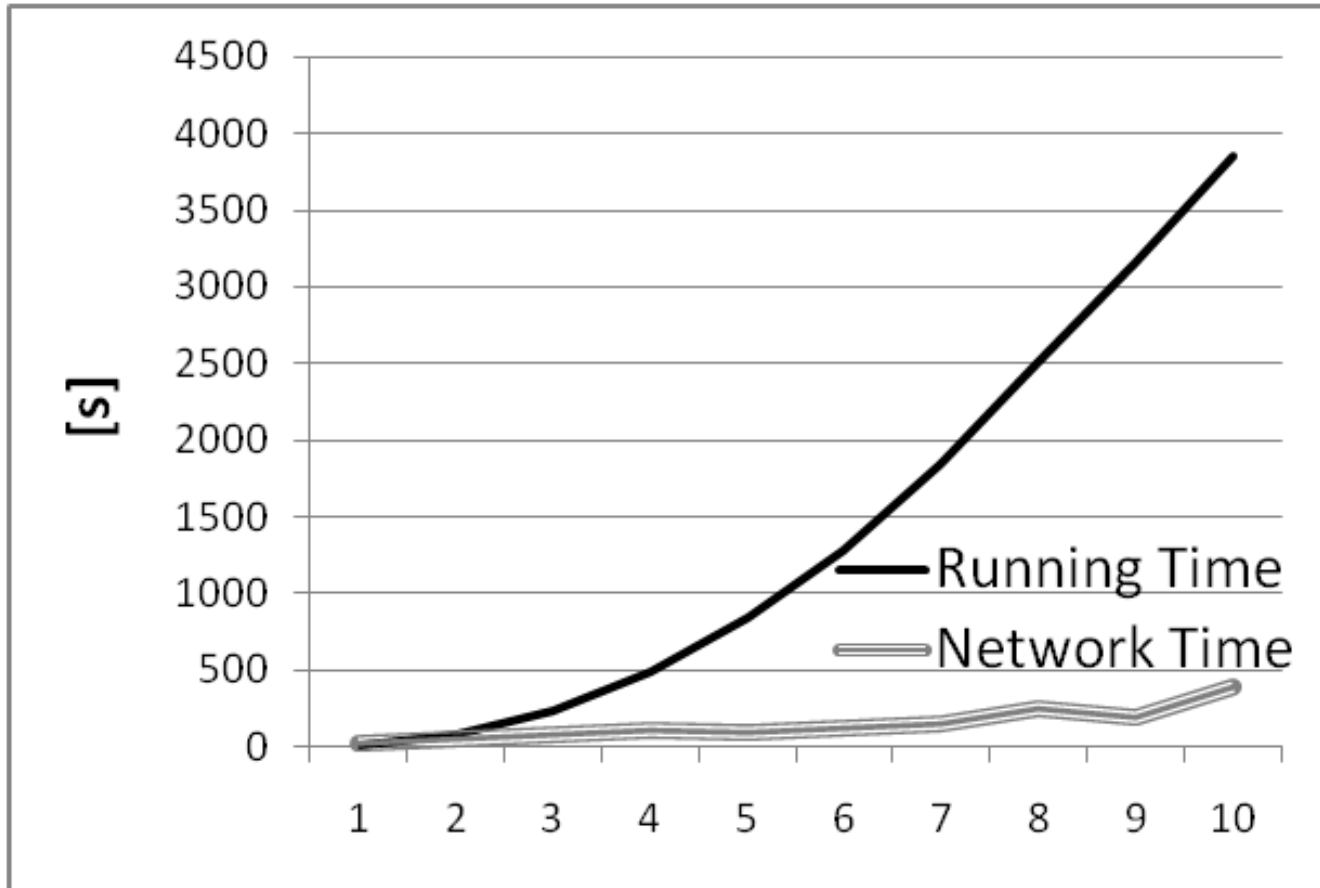
Problem pokrycia ⁶⁸



Homologiczne kryterium pokrycia ⁶⁹

Theorem. (V. de Silva and R. Ghrist, 2005) Let a planar sensor network in domain \mathcal{D} , bounded by a fence cycle z be given. Let \mathcal{F} be the Rips complex of the communication graph of the network. Then all of \mathcal{D} is completely covered by the sensors if there exists a $[\zeta] \in H_2(\mathcal{F}, |z|)$ with $\partial\zeta = z$.

Symulator sieci sensorowych ⁷⁰



Współczesna topologia obliczeniowa jest dynamicznie rozwijającą się dziedziną na pograniczu matematyki i informatyki o wielu matematycznych i pozamatematycznych zastosowaniach.